

وزارة التعليم والبحث العلمي

MINISTERE DE L'ENSEIGNEMENT ET DE LA RECHERCHE SCIENTIFIQUE

*Alex*

## ECOLE NATIONALE POLYTECHNIQUE

DEPARTEMENT : GENIE-MECANIQUE

المدرسة الوطنية المتعددة التقنيات  
BIBLIOTHEQUE —  
المكتبة —  
Ecole Nationale Polytechnique

## PROJET DE FIN D'ETUDES

S U J E T

### ETUDE ET REALISATION D'UN MOTEUR HYDRAULIQUE A ENGRENAGE. P ≤ 3 Kw

Proposé par :

J.P. PIEROZAK

Etudié par :

D. KHALED KHODJA

Dirigé par :

J.P. PIEROZAK

PROMOTION : JUIN 1986

وزارة التعليم والبحث العلمي

MINISTERE DE L'ENSEIGNEMENT ET DE LA RECHERCHE SCIENTIFIQUE

Alex

## ECOLE NATIONALE POLYTECHNIQUE

DEPARTEMENT : GENIE-MECANIQUE

المدرسة الوطنية المتعددة التقنيات  
BIBLIOTHEQUE — المكتبة  
Ecole Nationale Polytechnique

## PROJET DE FIN D'ETUDES

### S U J E T

ETUDE ET REALISATION

D'UN MOTEUR HYDRAULIQUE

A ENGRENAGE.

$P \leq 3 \text{ Kw}$

Proposé par :

J.P. PIEROZAK

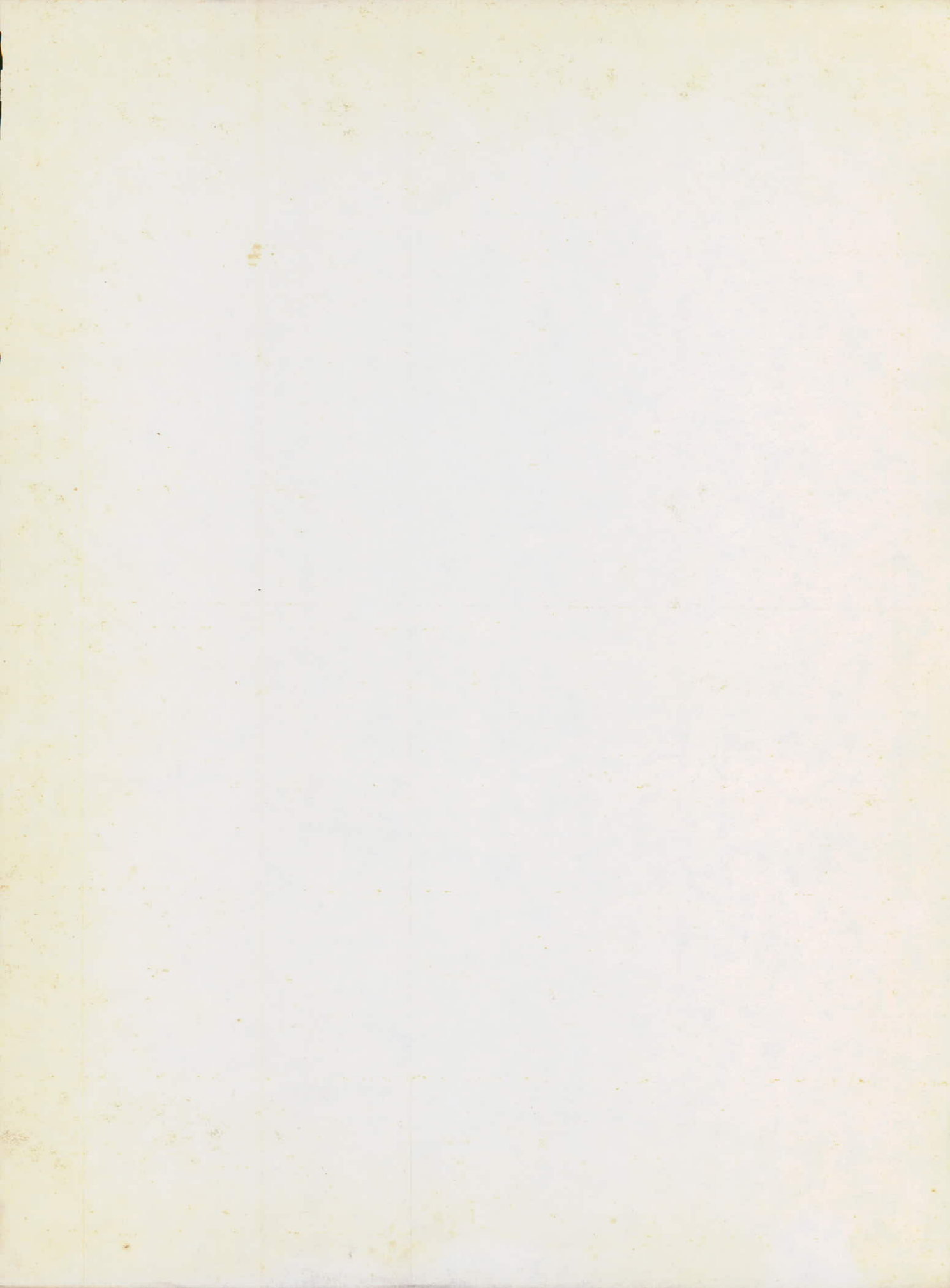
Etudié par :

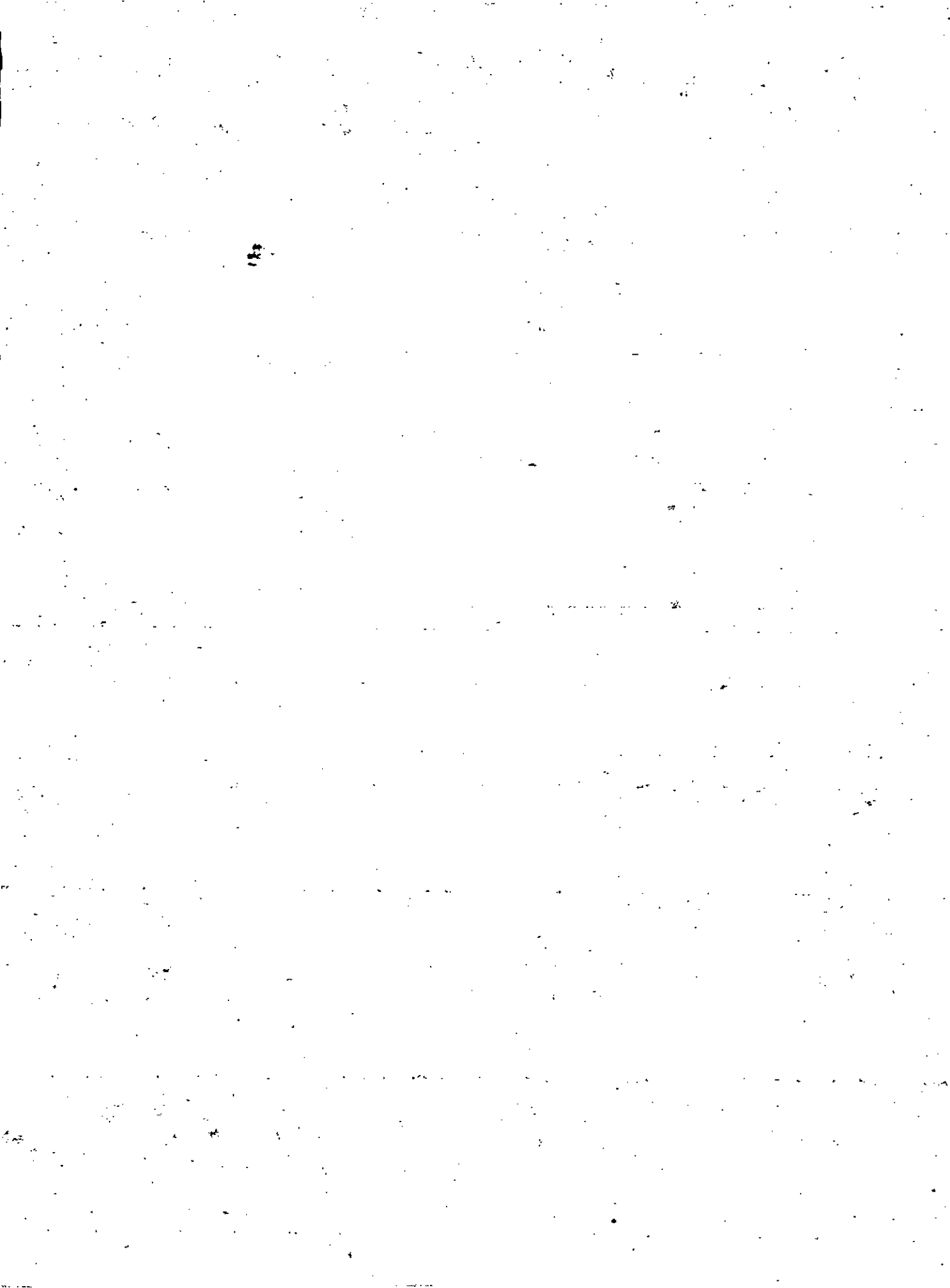
D. KHALED KHODJA

Dirigé par :

J.P. PIEROZAK

PROMOTION : JUIN 1986





المدرسة الوطنية المتعددة التقنيات  
BIBLIOTHEQUE — المكتبة  
Ecole Nationale Polytechnique

- REMERCIEMENTS -

- à Monsieur J.P Pierozak pour l'aide précieuse et les conseils qu'il m'a prodigué .
- à tout le personnel de l'atelier des métaux , en particulier , Messieurs Ouabdeslam et Yahiaoui .
- aux enseignants qui ont contribué à ma formation .
- à tout ceux qui ont contribué de près ou de loin à la réalisation de ce projet

A TOUS MERCI

المدرسة الوطنية المتعددة التقنيات  
BIBLIOTHEQUE — المكتبة  
Ecole Nationale Polytechnique

- REMERCIEMENTS -

- à Monsieur J.P Pierozak pour l'aide précieuse et les conseils qu'il m'a prodigué .
- à tout le personnel de l'atelier des métaux , en particulier , Messieurs Ouabdeslam et Yahiaoui .
- aux enseignants qui ont contribué à ma formation .
- à tout ceux qui ont contribué de près ou de loin à la réalisation de ce projet

A TOUS L'ERCJ

المدرسة الوطنية المتعددة التقنيات  
BIBLIOTHEQUE — المكتبة  
Ecole Nationale Polytechnique

Je dédie ce modeste travail :

- à mes parents ,
- à mes frères et soeurs ,
- à mes ami(e)s .

Je dédie ce modeste travail :

- à mes parents ,
- à mes frères et soeurs ,
- à mes ami(e)s .

Ministère de l'Enseignement Supérieur  
Ecole Nationale Polytechnique  
Département : Génie Mécanique  
Présentateur : J.P. Plassat  
Elève Ingénieur : D. Khalid Khelifi

المدرسة الوطنية المتعددة التقنيات  
فرع : الهندسة الميكانيكية  
المحبطة : ج ٢ ب - بروزك  
الطالب المصمم : ج . خالد خليفه

**الموضوع:** دراسة تجريبية لمحرك زناد روكي ذي تروس

35P

**الخلاص:** تهدف هذه الدراسة الى تجربة المحرك زناد روكي تراجمي ذي تروس بالاضافة الى التصميم والتجزئي الفعلي لهذا المحرك . وتحتفي لتحليل مع معايرة تجربة متقدمة مكونا بذلك أداة معمل تستند على الامثلية المنشورة  
والأقسام الميدانوجرافية .

Sujet : Etude et réalisation d'un moteur hydraulique à engrenage  $P \leq 3 \text{ Kw}$   
Résumé : Cette étude porte sur la dimensionnement, la conception, et la réalisation concrète d'un moteur hydraulique réversible à engrenage et à l'adapter sur un banc d'essai déjà disponible connotant ainsi un outil de travail pour un T.P, une démonstration didactique ou pédagogique.

Subject : Hydraulic gear motor ( $P \leq 3 \text{ Kw}$ ). Study and realisation.  
Abstract : This study consists on a concrete realisation, conception and motor size of a reversible hydraulic gear motor, to adapt it on an available test bed, so it can be used for laboratory work and as a pedagogic and didactic demonstration.

Ministère de l'Enseignement Supérieur  
Ecole Nationale Polytechnique  
Département : Génie Mécanique  
Président : J. P. Picard  
Elève Agent : D. Khalid Khader

الدورة الوطنية المتعددة للتوجهات  
فرع : الهندسة الميكانيكية  
الموجهة : حلب - سوريا  
الطلاب المصطفى : ح. خالد مجموعه

**الموضوع:** دراسة تحليلية لبعض الأنجازات المعرفية في تفسيرات  
35P

**الطلاب**: تهدف هذه الدراسة الى تحديد ايجاد معايير المدربين  
تراتجعي ذى عروض بالاضافة الى التصميم والانجاز الفعلى  
لهذا المدرب ، وتقديمه لليتلدراء مع معايير تجربة تجربة  
متقدمة يمكن بذلك ارادة عمل تقييم الامان التطبيقية  
والاتساع المتدلوج .

Sujet : Etude et réalisation d'un système hydroélastique à engrangage  $P \leq 2$  Kva  
Résumé : Cet article porte sur la dimensionnement, la conception et la réalisation concrète d'un système hydroélastique envisagé à engrangage et à l'adaptation sur un site d'accès difficile disponible constamment ainsi qu'un outil de travail pour un T.P., une énergie éolienne distante ou géologique.

Subject : Hydraulic gear motor ( $P \leq 3 \text{ Kw}$ ). Study and realisation.  
Abstract : This study consists in a concrete realisation, conception and water size of a reversible hydraulic gear motor, to adapt it on an available test bed, so it can be used for laboratory work and as a pedagogic and didactic demonstration.

- TABLE DES MATIÈRES -

		Page
<u>- Introduction</u>		1
<u>- Chapitre 1</u>	Dimensionnement du moteur hydraulique	// 2
- 1	Introduction	// 2
- 2	Caractéristiques de fonctionnement	// 2
- 3	Calcul du module	// 2
3.1	Calcul de vérification	// 3
- - 4	Calcul dynamique	// 4
- 5	Calcul des réactions	// 5
5.1	Efforts suivant le plan horizontal	// 6
5.2	Efforts suivant le plan vertical	// 7
5.3	Moment de flexion résultant	// 7
5.4	Moment de torsion	// 7
5.5	Calcul des réactions aux appuis	// 7
- 6	Calcul du diamètre de l'arbre	// 7
6.1	Calcul du moment idéal	// 8
6.2	Valeur du diamètre de l'arbre	// 8
- 7	Calcul de l'épaisseur du corps	// 9
- 8	Calcul de l'assemblage des couvercles	// 9
- 9	Calcul des roulements	/// 11
<u>- Chapitre 2</u>	Analyse de fabrication	// 13
- 1	Dessin d'ensemble du moteur hydraulique	// 13
- 2	Dessin de définition des arbres pignons	// 15
2.1	Dessin de définition des arbres pignons	// 15
2.2	Dessin de définition des flasques	// 21
2.3	Dessin de définition des couvercles	// 29

- TABLE DES MATIERES -

	Page
<u>- Introduction</u>	1
<u>- Chapitre 1</u>	2
- 1      Dimensionnement du moteur hydraulique	2
- 2      Introduction	2
- 2      Caractéristiques de fonctionnement	2
- 3      Calcul du module	2
3.1      Calcul de vérification	3
- 4      Calcul dynamique	4
- 5      Calcul des réactions	5
5.1      Efforts suivant le plan horizontal	6
5.2      Efforts suivant le plan vertical	7
5.3      Moment de flexion résultant	7
5.4      Moment de torsion	7
5.5      Calcul des réactions aux appuis	7
- 6      Calcul du diamètre de l'arbre	7
6.1      Calcul du moment idéal	8
6.2      Valeur du diamètre de l'arbre	8
- 7      Calcul de l'épaisseur du corps	9
- 8      Calcul de l'assemblage des couvercles	9
- 9      Calcul des roulements	11
<u>- Chapitre 2</u>	13
- 1      Analyse de fabrication	13
Dessin d'ensemble du moteur hydraulique	13
- 2      Dessin de définition des arbres pignons	15
2.1      Dessin de définition des arbres pignons	15
2.2      Dessin de définition des flasques	21
2.3      Dessin de définition des couvercles	29

- PHOTOGRAPHIE -

- J. FAJSANDIER Mécanisme Hydraulique Dunod
- F. BERNARD
- A.L. TOURANCHEAU Eléments de construction à l'usage  
l'ingénieur Dunod. Tome 6
- G. LENORMAND
- R. HIGNEE Construction mécanique, éléments  
de technologie Foucher. Tome 4
- J. TINEL
- R. BUTIN Fabrication mécanique
- M. PIGNOT Technologie Foucher. Tome 1,2,3
- G. LEMASSON Machines transformatrices d'énergie  
Delagrave
- A. CHEVALIER Guide du dessinateur industriel  
Hachette
- Encyclopédie des sciences industrielles QUILLER
- Cours : M.H.P., C.M.2, C.M.4.

- FICHES DE L'INFORMATIQUE -

- J. FAISANDIER Mécanisme Hydraulique Dunod
- F. BERNARD A.L. TOURANCHEAU Eléments de construction à l'usage de l'ingénieur Dunod. Tome 6
- G. LENORMAND R. KIGNEE Construction mécanique, éléments de technologie Foucher. Tome 4
- R. BUTIN Fabrication mécanique
- M. PIGNOT Technologie Foucher. Tome 1,2,3
- G. LEMASSON Machines transformatrices d'énergie Delagrave
- A. CHEVALIER Guide du dessinateur industriel Hachette
- Encyclopédie des sciences industrielles GUILLER
- Cours : M.H.P., C.M.2, C.M.4.

2.4	Dessin de définition du corps	page	34
- Chapitre 3	Exploitation de notre réalisation	//	30
- 1	Présentation du T.P	//	39
1.1	Description de l'installation	//	39
1.2	But de la manipulation	//	40
1.3	Mode opératoire	//	42
- Conclusion		//	43

2.4	Dessin de définition du corps	page	34
- Chapitre 3	Exploitation de notre réalisation	//	<del>30</del>
- 1	Présentation du T.P	//	39
1.1	Description de l'installation	//	39
1.2	But de la manipulation	//	40
1.3	Mode opératoire	//	42
- Conclusion		//	43

المدرسة الوطنية المتعددة التقنيات  
BIBLIOTHEQUE — المكتبة  
Ecole Nationale Polytechnique

## INTRODUCTION

- Mon étude porte sur le dimensionnement, la conception, et la réalisation concrète d'un moteur hydraulique réversible à engrenage, et à l'adapter sur un banc d'essai disponible au département énergétique.

Les données de bases sont celles que préconise le constructeur du banc H 20 ( Delta-lab 38340 Voreppe France ), et pour une utilisation maximale, à savoir, une puissance de 3 Kw, un débit volumique de 16 l/min et une pression de 100bars. Ces valeurs représentent des grandeurs effectives, le constructeur ayant fait le calcul des différentes pertes.

المدرسة الوطنية المتعددة التقنيات  
BIBLIOTHEQUE — المكتبة  
Ecole Nationale Polytechnique

## INTRODUCTION

- Mon étude porte sur le dimensionnement, la conception, et la réalisation concrète d'un moteur hydraulique réversible à engrenage, et à l'adapter sur un banc d'essai disponible au département énergétique.

Les données de bases sont celles que préconise le constructeur du banc H 20 ( Delta-lab 38340 Voreppe France ), et pour une utilisation maximale, à savoir, une puissance de 3 Kw, un débit volumique de 16 l/min et une pression de 100bars. Ces valeurs représentent des grandeurs effectives, le constructeur ayant fait le calcul des différentes pertes.

II chapitre 1

## DIMENSIONNEMENT DU MOTEUR HYDRAULIQUE

## 1 - Introduction

Le dimensionnement d'un moteur hydraulique à engrenages se fait de la même sorte qu'une pompe du même type

## 2 - Caractéristiques de fonctionnement

Les caractéristiques de fonctionnement de notre moteur hydraulique sont les suivantes

la puissance effective  $P_{eff} \approx 3 \text{ kw}$

le débit effectif  $Q_{eff} = 16 \text{ l/min}$

la pression maximale  $p = 100 \text{ bars}$

le rendement volumique  $\eta = 0,85$

## 3 - Calcul du module

Le débit théorique  $Q_{th}$  est une fonction du module  $m$  et est donné par  $Q_{th} = 2\pi k Z m^3 n$ , de plus  $Q_{th} = Q_{eff} / \eta$ , de ces deux équations nous obtenons  $Q_{eff} = 2\pi k Z m^3 n \eta$   
d'où l'expression du module  $m$

$$m = \left( \frac{Q_{eff}}{2\pi k Z n \eta} \right)^{1/3}$$

avec;  $k$ : coefficient de largeur  $k \in [5, 10]$

$Z$ : nombre de dents

$n$ : fréquence de rotation

$$n \in [1000 ; 1500]$$

Notre moteur hydraulique doit être de petites dimensions, donc la largeur de dent est faible, l'étanchéité périphérique se fera ressentir, ceci explique le choix de  $\eta = 0,85$

Nous prendrons  $k = 6$

$$Z = 20$$

$$n = 1000 \text{ tr/min}$$

Chapitre 1

## DIMENSIONNEMENT DU MOTEUR HYDRAULIQUE

## 1 - Introduction

Le dimensionnement d'un moteur hydraulique à engrenages se fait de la même sorte qu'une pompe du même type

## 2 - Caractéristiques de fonctionnement

Les caractéristiques de fonctionnement de notre moteur hydraulique sont les suivantes

la puissance effective  $P_{eff} = 3 \text{ kw}$

le débit effectif  $Q_{eff} = 16 \text{ l/min}$

la pression maximale  $p = 100 \text{ bars}$

le rendement volumique  $\eta = 0,85$

## 3 - Calcul du module

Le débit théorique  $Q_{th}$  est une fonction du module  $m$  et est donné par  $Q_{th} = 2\pi k Z m^3 n$ , de plus  $Q_{th} = Q_{eff} / \eta$ , de ces deux équations nous obtenons  $Q_{eff} = 2\pi k Z m^3 n \eta$   
d'où l'expression du module  $m$

$$m = \left( \frac{Q_{eff}}{2\pi k Z n \eta} \right)^{1/3}$$

avec;  $k$ : coefficient de largeur

$k \in [5, 10]$

$Z$ : nombre de dents

$n$ : fréquence de rotation

$n \in [1000 ; 1500]$

Notre moteur hydraulique doit être de petites dimensions, donc la largeur de dent est faible, l'étanchéité périphérique se fera ressentir, ceci explique le choix de  $\eta = 0,85$

Nous prendrons  $k = 6$

$$Z = 20$$

$$n = 1000 \text{ tr/min}$$

$$n = 1000 \text{ tr/min}$$

le calcul donne

$$m = \left( \frac{16}{0,85 \cdot 2,77 \cdot 6 \cdot 20 \cdot 10^6} \right)^{1/3} \frac{1000}{mm}$$

$$m = 2,92$$

nous adopterons le module normalisé  $m = 3$

### 3.1 - Calcul de vérification

Le module  $m$  doit vérifier la condition de résistance,  $m \geq \left( \frac{11 \cdot C}{k \cdot Z \cdot \sigma_{adm}} \right)^{1/3}$

où  $C$  : couple

$$C = \frac{P_{eff}}{2 \cdot \pi \cdot n}$$

$\sigma_{adm}$  : contrainte admissible

pour un acier de nuance XC18 et pour un coefficient de sécurité  $s = 4$

$$\sigma_{adm} = 125 \text{ N/mm}^2$$

le calcul donne

$$m \geq \left( \frac{11 \cdot 3000 \cdot 60 \cdot 1000}{6 \cdot 20 \cdot 125 \cdot 2 \cdot \pi \cdot 1000} \right)^{1/3} mm$$

$$m \geq 2,76$$

le module  $m = 3$  convient.

La valeur  $s = 4$  a été choisie, car plus le coefficient de sécurité est grand, moins, la construction est à la merci d'un dépassement accidentel de la limite d'élasticité  $R_e$ .

Pour un module de 3 mm et une pression maximale de 100 bars, calculons la puissance engendrée, si  $n = 1000 \text{ tr/min}$

$$P_{eff} = \rho \cdot Q_{eff} \quad (A)$$

$$= \rho \cdot \frac{2 \pi k Z m^3 n}{60} \quad (B)$$

le calcul donne  $P_{eff} = 100 \cdot 1,013 \cdot 10^5 \cdot 0,85 \cdot 2,77 \cdot 6 \cdot 20 \cdot 0,003^3 \cdot \frac{1000}{60}$   
 $\approx 2921 \text{ watts}$

$$n = 1000 \text{ tr/min}$$

le calcul donne

$$m = \left( \frac{16}{0,85 \cdot 2,77 \cdot 6 \cdot 20 \cdot 10^6} \right)^{1/3} \frac{1000}{mm}$$

$$m = 2,92$$

nous adopterons le module normalisé  $m = 3$

### 3.1 - Calcul de vérification

Le module  $m$  doit vérifier la condition de résistance,  $m \geq \left( \frac{11 \cdot C}{k \cdot Z \cdot \sigma_{adm}} \right)^{1/3}$

où  $C$  : couple

$$C = \frac{R_{eff}}{2 \cdot \pi \cdot n}$$

$\sigma_{adm}$  : contrainte admissible

pour un acier de nuance XC18 et pour un coefficient de sécurité  $s = 4$

$$\sigma_{adm} = 125 \text{ N/mm}^2$$

le calcul donne

$$m \geq \left( \frac{11 \cdot 3000 \cdot 60 \cdot 8000}{6 \cdot 20 \cdot 125 \cdot 2 \cdot 77 \cdot 1000} \right)^{1/3} mm$$

$$m \geq 2,76$$

le module  $m = 3$  convient.

La valeur  $s = 4$  a été choisie, car plus le coefficient de sécurité est grand, moins, la construction est à la merci d'un dépassement accidentel de la limite d'élasticité  $R_e$ .

Pour un module de 3 mm et une pression maximale de 100 bars, calculons la puissance engendrée, si  $n = 1000 \text{ tr/min}$

$$P_{eff} = P \cdot Q_{eff} \quad (A)$$

$$= p \cdot \frac{\pi}{4} 2 \cdot \pi k Z m^3 n \quad (B)$$

le calcul donne  $P_{eff} = 100 \cdot 1,013 \cdot 10^5 \cdot 0,85 \cdot 2,77 \cdot 6 \cdot 20 \cdot 0,003^3 \cdot \frac{1000}{60}$   
 $\approx 2921 \text{ watts}$

toujours pour un module de 3 mm, une pression de 100 bars, calculons la fréquence de rotation du moteur qui nous fera atteindre la puissance de 3 kw de l'équation (B), nous obtenons

$$n = \frac{P_{\text{eff}}}{\rho \eta 2\pi k Z m^3}$$

le calcul donne

$$\begin{aligned} n &= \frac{3000 \cdot 60}{100 \cdot 1,013 \cdot 10^3 \cdot 0,85 \cdot 2\pi \cdot 6 \cdot 20 \cdot 0,003} \\ &= 1026 \text{ tr/min} \end{aligned}$$

$n = 1000 \text{ tr/min}$ , constitue donc le fréquence de rotation limite pour le coefficient de sécurité choisi

### 3.2 - Définition complète de la roue

nombre de dents	$Z = 20 \text{ dents}$
angle de pression	$\alpha = 20 \text{ degrés}$
diamètre primitif	$D = mZ = 60 \text{ mm}$
diamètre de tête	$D_t = m(Z+2) = 66 \text{ mm}$
diamètre de pied	$D_p = m(Z-2,5) = 52,5 \text{ mm}$
largeur de denture	$b = km = 18 \text{ mm}$

### 4 - Calcul dynamique

Les dents de la roue sont soumises à un effort tangentiel  $T$  et à un effort normal  $N$ . Le couple moteur est défini par  $C = \frac{D \cdot P_{\text{eff}}}{77}$  de plus  $C = T \cdot D/2$ , de ces deux équations nous tirons  $T = \frac{D \cdot P_{\text{eff}} \cdot 77}{n \cdot 77 \cdot D}$  avec  $n$ : la fréquence de rotation

$$n = 1000 \text{ tr/min}$$

$D$ : le diamètre primitif

$$D = 0,06 \text{ m}$$

$P_{\text{eff}}$ : la puissance effective

$$P_{\text{eff}} = 3 \text{ kw}$$

le calcul donne

$$T = \frac{60 \cdot 3000}{77 \cdot 1000 \cdot 0,06}$$

00003

toujours pour un module de 3 mm, une pression de 100 bars, calculons la fréquence de rotation du moteur qui nous fera atteindre la puissance de 3 kw de l'équation (B), nous obtenons

$$n = \frac{P_{\text{eff}}}{\rho \eta \cdot 2\pi \cdot k \cdot Z \cdot m^3}$$

le calcul donne

$$\begin{aligned} n &= \frac{3000 \cdot 60}{100 \cdot 1,013 \cdot 10^3 \cdot 0,85 \cdot 2,77 \cdot 6 \cdot 20 \cdot 0,003} \\ &= 1026 \text{ tr/min} \end{aligned}$$

$n = 1000 \text{ tr/min}$ , constitue donc la fréquence de rotation limite pour le coefficient de sécurité choisi

### 3.2 - Définition complète de la roue

nombre de dents	$Z = 20 \text{ dents}$
angle de pression	$\alpha = 20 \text{ degrés}$
diamètre primitif	$D = mZ = 60 \text{ mm}$
diamètre de tête	$D_t = m(Z+2) = 66 \text{ mm}$
diamètre de pied	$D_p = m(Z-2,5) = 52,5 \text{ mm}$
largeur de denture	$b = k \text{ m} = 18 \text{ mm}$

### 4 - Calcul dynamique

Les dents de la roue sont soumises à un effort tangentiel  $T$  et à un effort normal  $N$ . Le couple moteur est défini par  $C = \frac{D \cdot P_{\text{eff}}}{\pi \cdot 77}$  de plus  $C = T \cdot D/2$ , de ces deux équations nous tirons  $T = \frac{D \cdot P_{\text{eff}} \cdot \pi}{n \cdot 77 \cdot D}$  avec  $n$ : la fréquence de rotation

$$n = 1000 \text{ tr/min}$$

$D$ : le diamètre primitif

$$D = 0,06 \text{ m}$$

$P_{\text{eff}}$ : la puissance effective

$$P_{\text{eff}} = 3 \text{ kw}$$

le calcul donne

$$T = \frac{60 \cdot 3000}{77 \cdot 1000 \cdot 0,06}$$

$$T = 955 \text{ N}$$

$$\begin{aligned} \text{l'effort normal } N &= T \operatorname{tg} \alpha \\ &= 955 \cdot \operatorname{tg} 20 \\ &= 348 \text{ N} \end{aligned}$$

$\alpha$ : angle de pression

autre méthode

$$\begin{aligned} \text{nous savons que } P_{\text{eff}} &= P_{\text{eff}} \cdot Q_{\text{eff}} \\ &= P_{\text{eff}} \cdot 2\pi h Z m^3 n \\ &= C W \end{aligned}$$

(C)

(D)

des équations (C) et (D), nous obtenons

$$C = \frac{P_{\text{eff}} \cdot 2\pi h Z m^3 n}{W} \quad (E)$$

$$\text{de plus } C = T \cdot mZ/2$$

(F)

des équations (E) et (F), nous obtenons

$$T = 2P_{\text{eff}} \cdot \frac{h}{m^2}$$

pour une pression maximale de 100 bars le calcul donne

$$\begin{aligned} T &= 2 \cdot 100 \cdot 1,013 \cdot 10^5 \cdot 0,85 \cdot 6 \cdot 0,003^2 \\ &= 930 \text{ N} \end{aligned}$$

$$\text{et pour l'effort normal } N = T \operatorname{tg} \alpha$$

$$= 930 \operatorname{tg} 20$$

$$= 338 \text{ N}$$

## 5 - Calcul des réactions

D'après la largeur de denture ( $B = 18 \text{ mm}$ ), et la dimension probable des roulements, nous estimons à 40 mm la longueur de notre arbre

$$T = 955 \text{ N}$$

$$\begin{aligned} \text{l'effort normal } N &= T \operatorname{tg} \alpha \\ &= 955 \cdot \operatorname{tg} 20 \\ &= 348 \text{ N} \end{aligned}$$

$\alpha$ : angle de pression

autre méthode

$$\begin{aligned} \text{nous savons que } P_{\text{eff}} &= P_{\text{eff}} \cdot Q_{\text{eff}} \\ &= P_{\text{eff}} \cdot 277 \text{ kZ m}^3 \text{ n} \quad (\text{C}) \\ &= C \text{ W} \quad (\text{D}) \end{aligned}$$

des équations (C) et (D), nous obtenons

$$C = \frac{P_{\text{eff}} \cdot 277 \text{ kZ m}^3 \text{ n}}{W} \quad (\text{E})$$

$$\text{de plus } C = T \cdot mZ/2$$

$$(\text{F})$$

des équations (E) et (F), nous obtenons

$$T = 2P_{\text{eff}} \cdot \frac{\text{k m}^2}{W}$$

pour une pression maximale de 100 bars le calcul donne

$$\begin{aligned} T &= 2 \cdot 100 \cdot 1,013 \cdot 10^5 \cdot 0,85 \cdot 6 \cdot 0,003^2 \\ &= 930 \text{ N} \end{aligned}$$

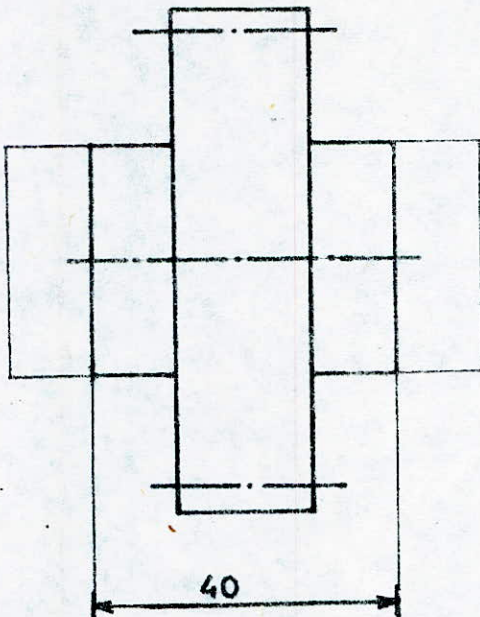
et pour l'effort normal  $N = T \operatorname{tg} \alpha$

$$= 930 \operatorname{tg} 20$$

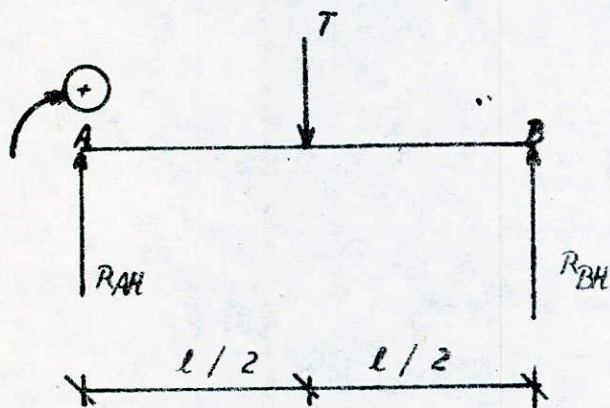
$$= 338 \text{ N}$$

## 5 - Calcul des réactions

D'après la largeur de denture ( $B = 18 \text{ mm}$ ), et la dimension probable des roulements, nous estimons à 40 mm la longueur de notre arbre.



5.1 - Efforts suivant le plan horizontal



$$l = 40 \text{ mm}$$

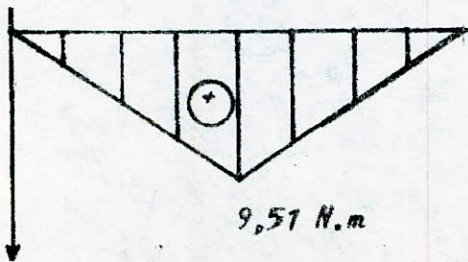
$$R_{AH} = R_{BH} = T/2 = 475,5 \text{ N}$$

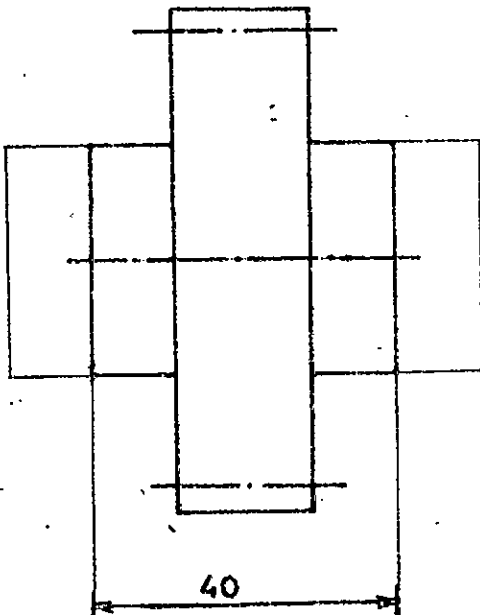
moment de flexion

$$M_{FH} = \frac{l}{2} R_{AH}$$

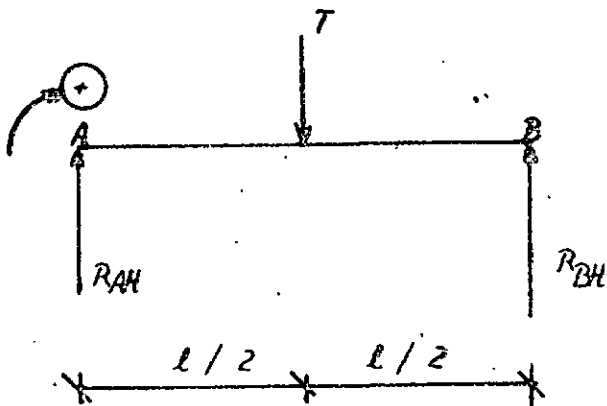
$$0,02 \cdot 475,5$$

$$= 9,51 \text{ N.m}$$





5.1 - Efforts suivant le plan horizontal



$$l = 40 \text{ mm}$$

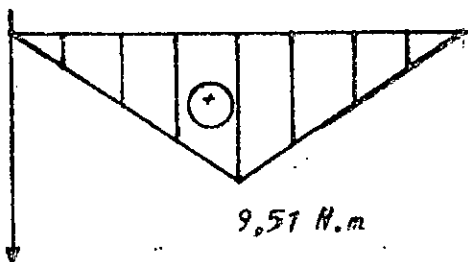
$$R_{AH} = R_{BH} = T/2 = 475,5 \text{ N}$$

moment de flexion

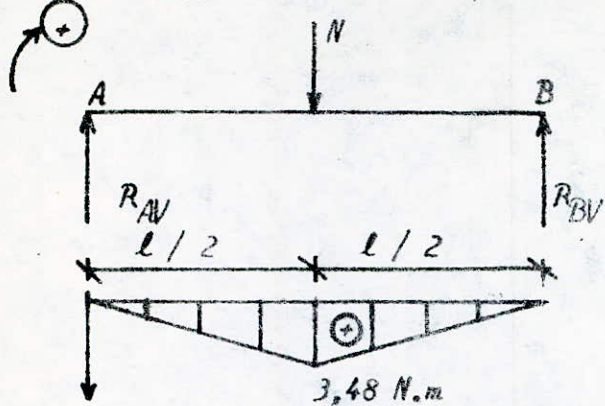
$$M_{FH} = \frac{l}{2} R_{AH}$$

$$0,02 \cdot 475,5$$

$$\approx 9,51 \text{ N.m}$$



### 5.2 - Efforts suivant le plan vertical



$$R_{AV} = R_{BV} = N/2 = 174 \text{ N}$$

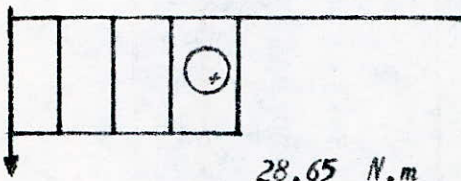
moment de flexion

$$\begin{aligned} M_{AV} &= \frac{l}{2} R_{AV} \\ &= 0,02 \cdot 174 \\ &= 3,48 \text{ N.m} \end{aligned}$$

### 5.3 - Moment de flexion résultant

$$\begin{aligned} M_f &= (M_{AH}^2 + M_{AV}^2)^{1/2} \\ &= (9,51^2 + 3,48^2)^{1/2} \\ &= 10,13 \text{ N.m} \end{aligned}$$

### 5.4 - Moment de tension



$$\begin{aligned} M_t &= T \frac{D}{2} \\ &= 955 \frac{0,06}{2} \\ &= 28,65 \text{ N.m} \end{aligned}$$

### 5.5 - Calcul des réactions aux appuis

$$\begin{aligned} R_A = R_B &= (R_{AH}^2 + R_{AV}^2)^{1/2} \\ &= (475,5^2 + 174^2)^{1/2} \\ &= 506,33 \text{ N} \end{aligned}$$

### 6 - Calcul du diamètre de l'arbre

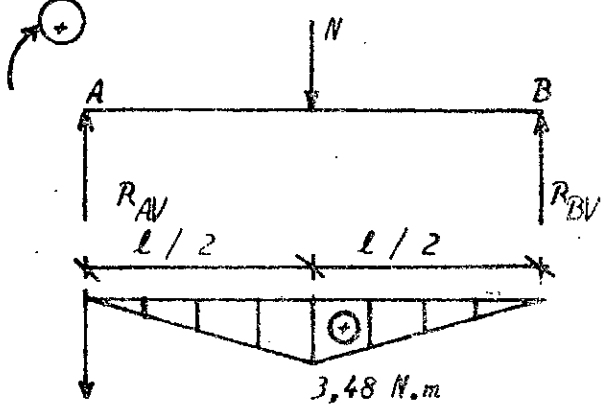
Les contraintes de flexion et de tension de l'arbre sont données respectivement par :

$$\bar{\sigma}_f = \frac{M_f}{0,1 d^3} ; \quad \bar{\sigma}_t = \frac{M_t}{0,2 d^3}$$

selon Coulomb la contrainte idéale  $\bar{\sigma}_i = (\bar{\sigma}_f^2 + \bar{\sigma}_t^2)^{1/2}$

$\bar{\sigma}_i$  doit être inférieur ou égal à  $\bar{\sigma}_{adm}$ :

### 5.2 - Efforts suivant le plan vertical



$$R_{AV} = R_{BV} = N/2 = 174 \text{ N}$$

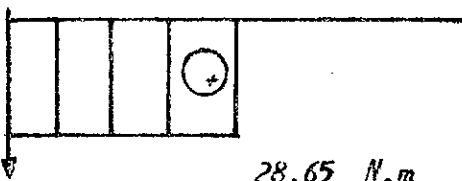
moment de flexion

$$\begin{aligned} M_{FL} &= \frac{\ell}{2} R_{AV} \\ &= 0,02 \cdot 174 \\ &= 3,48 \text{ N.m} \end{aligned}$$

### 5.3 - Moment de flexion résultant

$$\begin{aligned} M_f &= (\bar{M}_{FL}^2 + M_{FL}^2)^{1/2} \\ &= (8,51^2 + 3,48^2)^{1/2} \\ &= 10,13 \text{ N.m} \end{aligned}$$

### 5.4 - Moment de tension



$$\begin{aligned} M_t &= T \frac{D}{2} \\ &= 955 \frac{0,06}{2} \\ &= 28,65 \text{ N.m} \end{aligned}$$

### 5.5 - Calcul des réactions aux appuis

$$\begin{aligned} R_A = R_B &= (\bar{R}_{AH}^2 + R_{AV}^2)^{1/2} \\ &= (475,5^2 + 174^2)^{1/2} \\ &= 506,33 \text{ N} \end{aligned}$$

### 6 - Calcul du diamètre de l'arbre

Les contraintes de flexion et de torsion de l'arbre sont données respectivement par :

$$\bar{\sigma}_f = \frac{M_f}{0,1 d^3} ; \quad \bar{\sigma}_t = \frac{M_t}{0,2 d^3}$$

selon Coulomb la contrainte idéale  $\bar{\sigma}_i = (\bar{\sigma}_f^2 + \bar{\sigma}_t^2)^{1/2}$

$\bar{\sigma}_i$  doit être inférieur ou égal à  $\bar{\sigma}_{adm}$ :

en procédant aux divers remplacement, nous aboutissons à l'équation

$$\frac{1}{0,1 d^3} (M_f^2 + M_t^2)^{1/2} \leq \sigma_{adm}$$

nous remplacerons  $(M_f^2 + M_t^2)^{1/2}$  par  $M_i$ , moment idéal d'où

$$\frac{M_i}{0,1 d^3} \leq \sigma_{adm}$$

nous pouvons à présent avoir l'expression du diamètre

$$d \geq \left( \frac{M_i}{0,1 \sigma_{adm}} \right)^{1/3}$$

#### 6.1 - Calcul du moment idéal

$$\begin{aligned} M_i &= (M_{fv}^2 + M_{fl}^2 + M_t^2)^{1/2} \\ &= (9,5^2 + 3,48^2 + 28,5^2)^{1/2} \\ &= 30,28 \text{ N.m} \end{aligned}$$

#### 6.2 - Valeur du diamètre de l'arbre

L'arbre sera en acier de nuance XC 18

avec  $\sigma_{adm} = 125 \text{ MPa}$  et  $s = 4$ , d'où

$$d \geq \left( \frac{30,28 \times 1000}{0,1 \cdot 125} \right)^{1/3}$$

$$d \geq 13,43 \text{ mm}$$

Lors des calculs, nous remarquons que  $M_t = 2,83 M_f$ , ceci nous permet de dire que l'arbre est beaucoup plus soumis à la tension qu'à la flexion. De l'encyclopédie Quillet, et pour un arbre court, nous avons relevé la formule suivante

$$d \geq \left( \frac{M_t}{0,2 R_{pg}} \right)^{1/3}$$

avec  $M_t$  : moment de torsion

$R_{pg}$  : résistance pratique au cisaillement  $R_{pg} = 0,5 \sigma_{adm}$

le calcul donne

en procédant aux divers remplacement, nous aboutissons à l'équation

$$\frac{1}{0,1 d^3} (M_f^2 + M_t^2)^{1/2} \leq \sigma_{adm}$$

nous remplacerons  $(M_f^2 + M_t^2)^{1/2}$  par  $M_i$ , moment idéal d'où

$$\frac{M_i}{0,1 d^3} \leq \sigma_{adm}$$

nous pouvons à présent avoir l'expression du diamètre

$$d \geq \left( \frac{M_i}{0,1 \sigma_{adm}} \right)^{1/3}$$

#### 6.1 - Calcul du moment idéal

$$\begin{aligned} M_i &= (M_{fv}^2 + M_{ft}^2 + M_t^2)^{1/2} \\ &= (9,5^2 + 3,48^2 + 28,5^2)^{1/2} \\ &= 30,28 \text{ N.m} \end{aligned}$$

#### 6.2 - Valeur du diamètre de l'arbre

L'arbre sera en acier de nuance XC 18

avec  $\sigma_{adm} = 125 \text{ MPa}$  et  $s = 6$ , d'où

$$d \geq \left( \frac{30,28 \times 1000}{0,1 \cdot 125} \right)^{1/3}$$

$$d \geq 13,43 \text{ mm}$$

Sur les calculs, nous remarquons que  $M_t = 2,83 M_f$ , ceci nous permet de dire que l'arbre est beaucoup plus soumis à la tension qu'à la flexion. De l'encyclopédie Quillet, et pour un arbre court, nous avons relevé la formule suivante

$$d \geq \left( \frac{M_t}{0,2 R_{pg}} \right)^{1/3}$$

avec  $M_t$  : moment de torsion

$R_{pg}$  : résistance pratique au cisaillement  $R_{pg} = 0,5 \sigma_{adm}$

le calcul donne

$$d \geq \left( \frac{28,65 \cdot 1000}{0,2 \cdot 0,5 \cdot 125} \right)^{1/3}$$

$$d \geq 13,18 \text{ mm}$$

Nous prendrons donc un arbre de diamètre minimum  $d = 14 \text{ mm}$

### 7 - Calcul de l'épaisseur du corps

• Nous évaluerons l'épaisseur du corps à partir de la formule de Lamé

$$e \geq \frac{D_t}{2} \left( \sqrt{\frac{(\sigma_{adm} - p_i)}{(\sigma_{adm} + p_i)}} - 1 \right)$$

avec  $p_i$  : la pression interne , et  $p_i = p = 100 \text{ bars}$

$\Rightarrow 125 \text{ MPa}$  , si le corps est également en acier de nuance XC 18 et  $s = 4$

$D_t$  : le diamètre de tête de la roue  $D_t = 66 \text{ mm}$

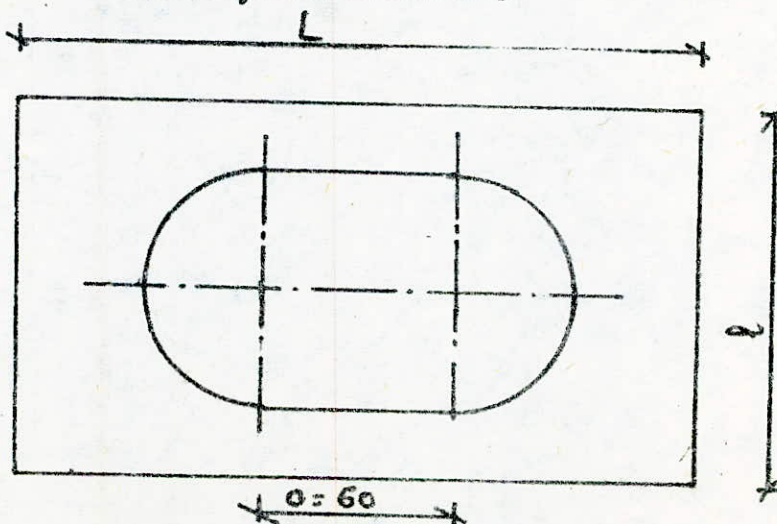
le calcul donne

$$e \geq 33 \left( \sqrt{\frac{125 + 1}{125 - 1}} - 1 \right)$$

$$e \geq 2,79 \text{ mm}$$

Vu la grande pression qui peut régner dans notre moteur , et afin d'éviter tout suintement , nous prendrons une épaisseur supérieure à 10 mm

### 8 - Calcul de l'assemblage des couvercles



$$d \geq \left( \frac{28,65 \cdot 1000}{0,2 \cdot 0,5 \cdot 125} \right)^{1/3}$$

$$d \geq 13,18 \text{ mm}$$

Nous prendrons donc un arbre de diamètre minimum  $d = 14 \text{ mm}$

### 7 - Calcul de l'épaisseur du corps

Nous évaluons l'épaisseur du corps à partir de la formule de Lame

$$e \geq \frac{D_t}{2} \left( \sqrt{\frac{(P_{adm} - P_i)}{P_{adm} + P_i}} - 1 \right)$$

avec  $P_i$  : la pression interne, et  $p_i = p = 100 \text{ bars}$

$= 125 \text{ MPa}$ , si le corps est également en acier de nuance XC 18 et  $s = 4$

$D_t$  : le diamètre de tête de la roue  $D_t = 66 \text{ mm}$

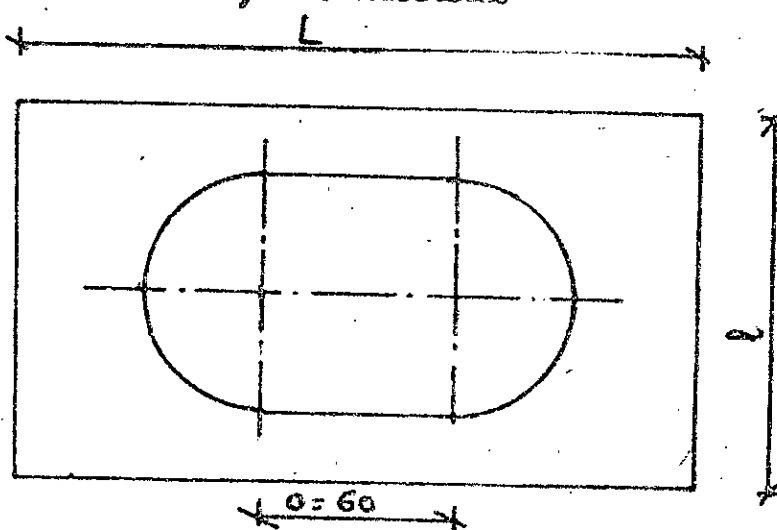
le calcul donne

$$e \geq 23 \left( \sqrt{\frac{125 + 1}{125 - 1}} - 1 \right)$$

$$e \geq 2,79 \text{ mm}$$

Vu la grande pression qui peut régner dans notre moteur, et afin d'éviter tout suintement, nous prendrons une épaisseur supérieure à 10 mm

### 8 - Calcul de l'assemblage des couvercles



$$L_m = a + 2n + 2e = 60 + 2 \cdot 33 + 2 \cdot 16 = 158 \text{ mm}$$

$$l_m = 2(n + e) = 2(33 + 16) = 98 \text{ mm}$$

$L_m$  et  $l_m$  constituent la longueur et la largeur minimale de notre moteur hydraulique.

Nous utiliserons un joint métallique dont les caractéristiques sont les suivantes : épaisseur du joint

$$e_j = 2 \text{ mm}$$

module d'élasticité longitudinal

$$E_j = 10^5 \text{ N/mm}^2$$

surface du joint

$$S_j = L \cdot l - (\pi a^2 + 2na) \\ = 18190 \text{ mm}^2$$

10 boulons M8 dont les caractéristiques sont

surface totale des boulons

$$S_b = 10 \pi (0,8 \cdot 0,8)^2 \frac{1}{4} = 321 \text{ mm}^2$$

longueur du boulon

$$L_b = 55 \text{ mm}$$

module d'élasticité longitudinal

$$E_b = 2 \cdot 10^5 \text{ N/mm}^2$$

limite d'élasticité

$$R_e = 450 \text{ N/mm}^2$$

Soit  $G$  la force engendrée par la pression à l'intérieur du moteur, nous considérerons la pression maximale disponible;  $G = (\pi a^2 + 2an) \cdot p$

$$\text{le calcul donne } G = (\pi 3^2 + 2 \cdot 33 \cdot 60) \cdot 10^{-6} \cdot 100 \cdot 1013 \cdot 10^5 \\ = 74771 \text{ N}$$

la contrainte de traction au montage vaut alors dans chaque boulon,

$$G_t = F/S_b$$

avec  $F$  condition d'efficacité de serrage,  $F$  se calcule comme suit :

$$F \geq g \frac{L_b \cdot S_j \cdot E_j}{L_b \cdot E_j \cdot S_j + e_j \cdot S_b \cdot E_b}$$

le calcul donne

$$F \geq 74771 \frac{55 \cdot 18190 \cdot 10^5}{55 \cdot 18190 \cdot 10^5 + 2 \cdot 2 \cdot 10^5 \cdot 321}$$

$$\geq 74875 \text{ N}$$

Nous prendrons  $F = 75000 \text{ N}$

$$L_m = a + 2n + 2e = 60 + 2 \cdot 33 + 2 \cdot 16 = 158 \text{ mm}$$

$$\ell_m = 2(n + e) = 2(33 + 16) = 98 \text{ mm}$$

$L_m$  et  $\ell_m$  constituent la longueur et la largeur minimale de notre moteur hydraulique.

Nous utiliserons un joint métallique dont les caractéristiques sont les suivantes : épaisseur du joint

$$e_j = 2 \text{ mm}$$

$$\text{module d'elasticité longitudinal}$$

$$E_j = 10^5 \text{ N/mm}^2$$

$$\text{surface du joint}$$

$$S_j = L \cdot l = (\pi a^2 + 2\pi a) \\ = 181.90 \text{ mm}^2$$

10 boulons M8 dont les caractéristiques sont

$$\text{surface totale des boulons}$$

$$S_b = 10 \pi (0.8 \cdot 0.8)^2 \frac{1}{4} = 321 \text{ mm}^2$$

$$\text{longueur du boulon}$$

$$L_b = 55 \text{ mm}$$

$$\text{module d'elasticité longitudinal}$$

$$E_b = 2 \cdot 10^5 \text{ N/mm}^2$$

$$\text{limite d'elasticité}$$

$$R_e = 450 \text{ N/mm}^2$$

Soit  $G$  la force engendrée par la pression à l'intérieur du moteur, nous considérerons la pression maximale disponible;  $G = (\pi a^2 + 2\pi a) p$

$$\text{le calcul donne } G = (\pi 33^2 + 2 \cdot 33 \cdot 60) \cdot 10^{-6} \cdot 100 \cdot 1013 \cdot 10^5 \\ = 74771 \text{ N}$$

la contrainte de traction au montage vaut alors dans chaque boulon,

$$\sigma_t = F/S_b$$

avec  $F$  condition d'efficacité de serrage,  $F$  se calcule comme suit :

$$F \geq g \frac{L_b \cdot S_j \cdot E_j}{L_b \cdot E_j \cdot S_j + e_j \cdot S_b \cdot E_b}$$

le calcul donne

$$F \geq 74771 \frac{55 \cdot 18190 \cdot 10^5}{55 \cdot 18190 \cdot 10^5 + 2.2 \cdot 10^5 \cdot 321} \\ \geq 74875 \text{ N}$$

Hence prendrons  $F = 75000 \text{ N}$

Calcul de  $\sigma_t$  :

$$\sigma_t = \frac{75\ 000}{321}$$

$$\sigma_t = 233 \text{ N/mm}^2$$

Soit un coefficient de sécurité  $s = 1,8$  pour les boulons. La contrainte admissible  $\sigma_{adm}$  est alors de

$$\sigma_{adm} = \frac{R_e}{s}$$

$$\sigma_{adm} = \frac{450}{1,8}$$

$$\sigma_{adm} = 250 \text{ N/mm}^2$$

$$\sigma_t < \sigma_{adm}$$

La fixation peut se faire à l'aide de 10 boulons M8.

### 9 - Calcul des roulements

Pour les deux arbres, la bague intérieure tourne par rapport à la charge. Soit  $P_e$  la charge dynamique équivalente,

$$P_e = x F_n + y F_a$$

avec  $x$  : facteur radial

$$x = 1$$

$y$  : facteur axial, les efforts axiaux ne sont pas très importants d'où nous prendrons  $y = 0$

donc  $P_e = F_n$ , et  $F_n = R_a = R_b = 40,63 \text{ daN}$

Soit  $C_b$  la charge dynamique de base

$$C_b = f_k \cdot f_d \cdot P_e \cdot \frac{Lh \cdot n}{16\ 666}^{1/k}$$

avec  $Lh$  : durée nominale en heures de fonctionnement. Le roulement est supposé fonctionner 6 heures par jour, pendant 5 ans, d'où

$$Lh = 10\ 950 \text{ heures}$$

$n$  : fréquence de rotation  $n = 1\ 000 \text{ tr/min}$

$k = 3$  pour des roulements à billes

Calcul de  $\sigma_t$  :

$$\sigma_t = \frac{75\ 000}{321}$$

$$\sigma_t = 233 \text{ N/mm}^2$$

Soit un coefficient de sécurité  $s = 1,8$  pour les boulons. La contrainte admissible  $\sigma_{adm}$  est alors de

$$\sigma_{adm} = \frac{R_e}{s}$$

$$\sigma_{adm} = \frac{450}{1,8}$$

$$\sigma_{adm} = 250 \text{ N/mm}^2$$

$$\sigma_t < \sigma_{adm}$$

La fixation peut se faire à l'aide de 10 boulons M8.

## 9 - Calcul des roulements

Pour les deux arbres, la bague intérieure tourne par rapport à la charge. Soit  $P_e$  la charge dynamique équivalente,

$$P_e = x F_n + y F_a$$

avec  $x$  : facteur radial

$$x = 1$$

$y$  : facteur axial, les efforts axiaux ne sont pas très importants d'où nous prendrons  $y = 0$

donc  $P_e = F_n$ , et  $F_n = R_a = R_b = 40,63 \text{ daN}$

Soit  $C_B$  la charge dynamique de base

$$C_B = f_k \cdot f_d \cdot P_e \cdot \frac{Lh \cdot n}{16\ 666}^{1/k}$$

avec  $Lh$  : durée nominale en heures de fonctionnement. Le roulement est supposé fonctionner 6 heures par jour, pendant 5 ans, d'où  
 $Lh = 10\ 950$  heures

$n$  : fréquence de rotation  $n = 1\ 000 \text{ tr/min}$

$k = 3$  pour des roulements à billes

$f_k = 1,09$  ; facteur de correction d'engrenement.

$f_d = 1,05$  ; facteur de correction d'accouplement avec un moteur électrique.

d'où le calcul donne

$$C = 1,09 \cdot 1,05 \cdot 50,63 \cdot \frac{10950 \cdot 1000}{16\ 666} \quad 1/3$$

$$= 503,75 \text{ daN}$$

Nous choisirons donc 4 roulements du type 15 BC 03 ou alors SKF 6302.

N'ayant pas trouvé sur le marché ce type de roulement, le calcul ayant largement été exagéré, nous avons remplacé ces 4 roulements par,

- 2 du type 20 BC 02 ou SKF 6204.

- 2 du type 17 BC 02 ou SKF 6203.

$f_k = 1,09$  ; facteur de correction d'engrènement.

$f_d = 1,05$  ; facteur de correction d'accouplement avec un moteur électrique.

d'où le calcul donne

$$C = 1,09 \cdot 1,05 \cdot 50,63 \cdot \frac{10950 \cdot 1000}{16\ 666} \quad 1/3 \\ = 503,75 \text{ daN}$$

Nous choisirons donc 4 roulements du type 15 BC 03 ou alors SKF 6302.

N'ayant pas trouvé sur le marché ce type de roulement, le calcul ayant largement été exagéré, nous avons remplacé ces 4 roulements par,

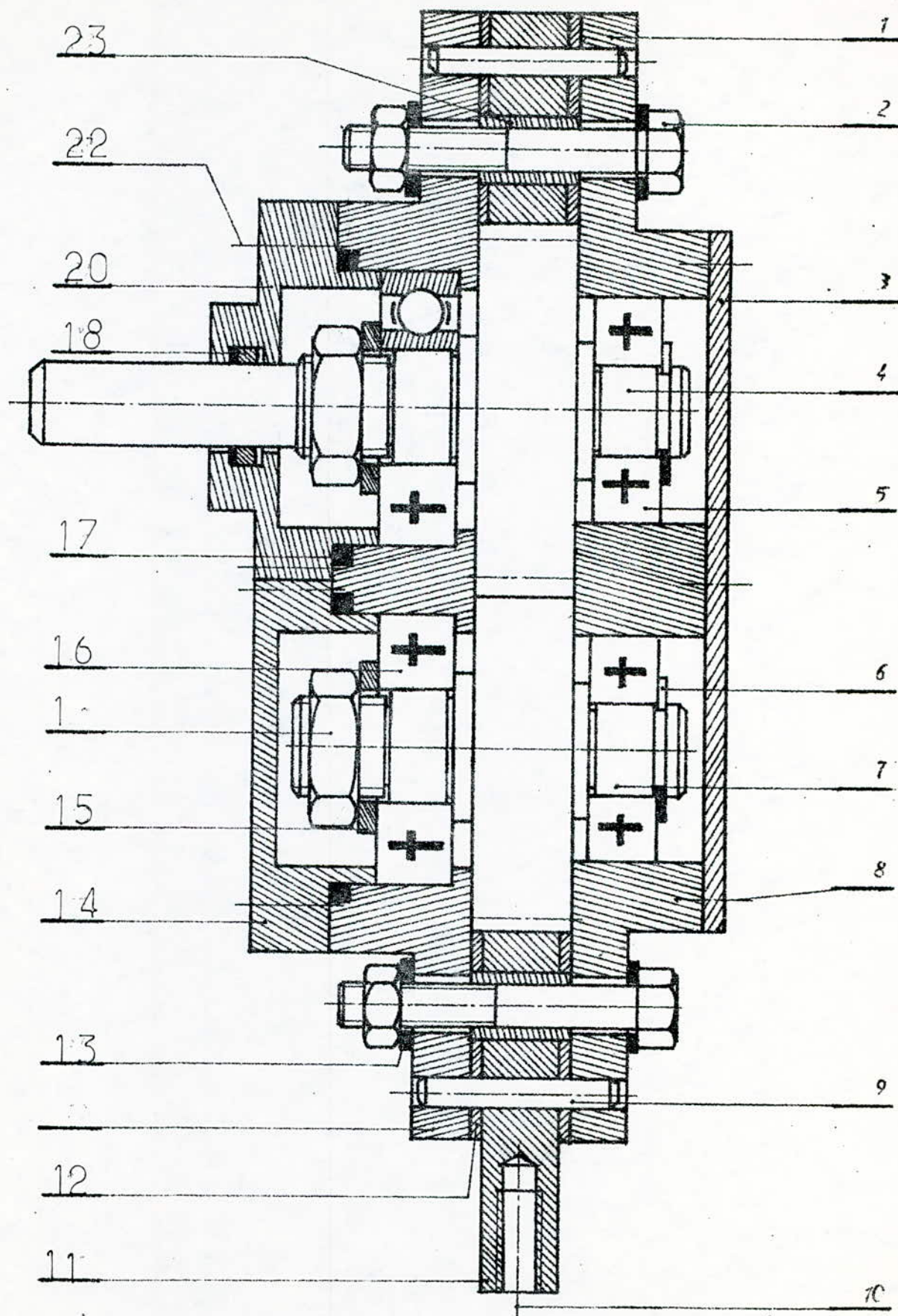
- 2 du type 20 BC 02 ou SKF 6204
- 2 du type 17 BC 02 ou SKF 6203.

## II Chapitre 2

### ANALYSE DE FABRICATION

Dans ce chapitre, nous allons voir le côté fabrication, nous présenterons une vue d'ensemble du moteur hydraulique à réaliser. Chaque élément de ce dernier sera entièrement défini, s'agissant d'une réalisation unique, nous aurions pu nous suffir des dessins de définition pour la fabrication, néanmoins, nous élaborerons une gamme de fabrication de quelques éléments, les plus complexes.

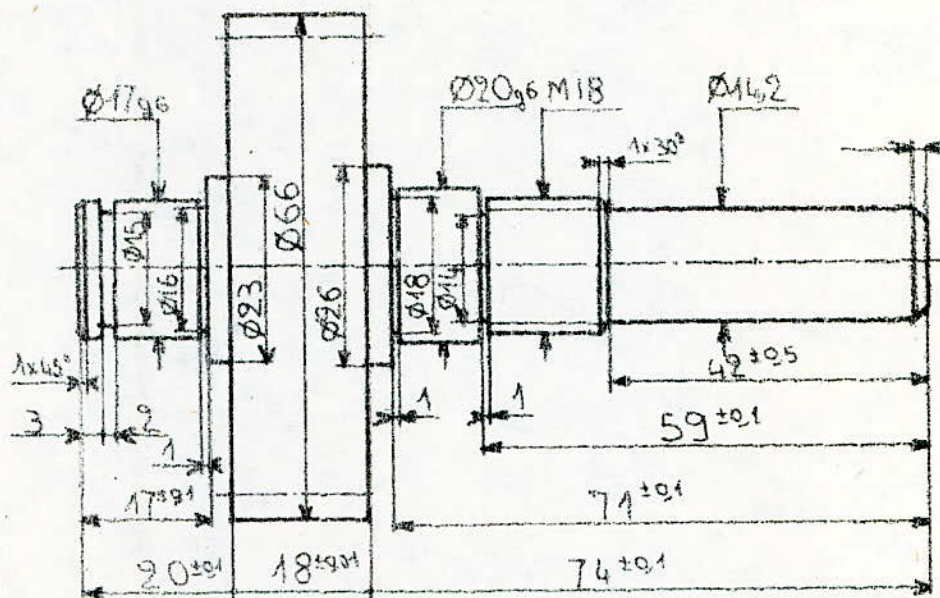
#### 1 - Dessin d'ensemble du moteur hydraulique



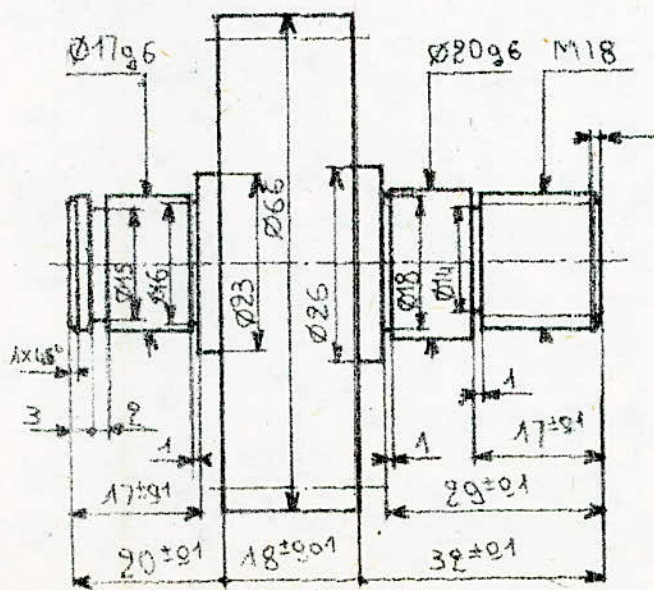
Schelle 2.1

## 2 - Dessins de définitions

#### 2.1 - Dessins de définition des arbres pignons (K 2, K 3)



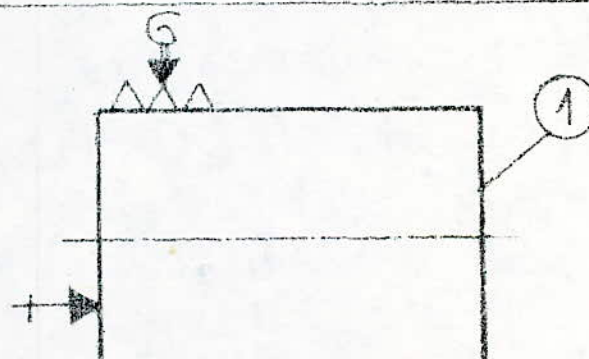
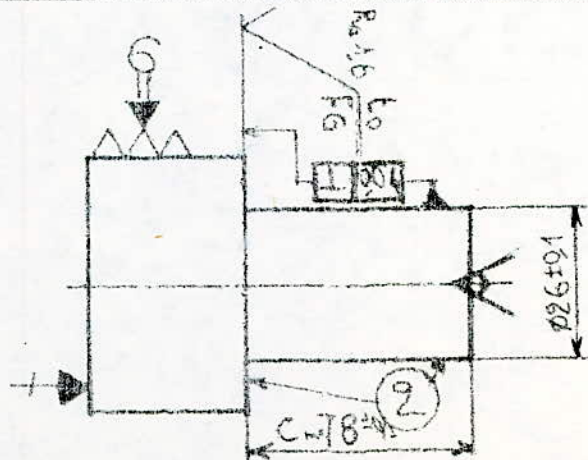
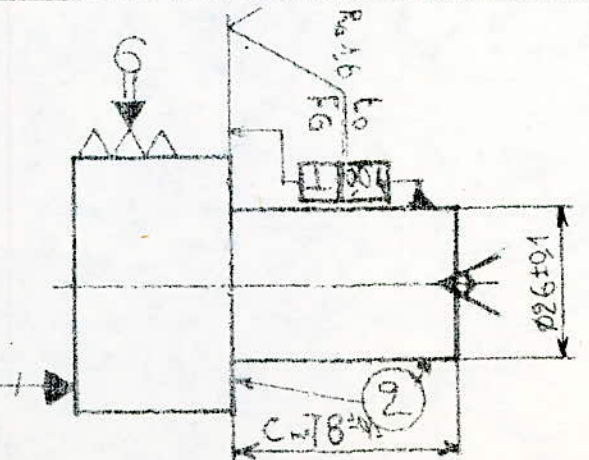
Ecuelle : ?

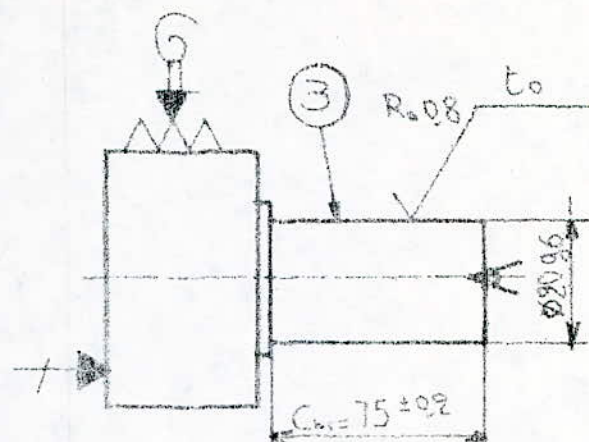
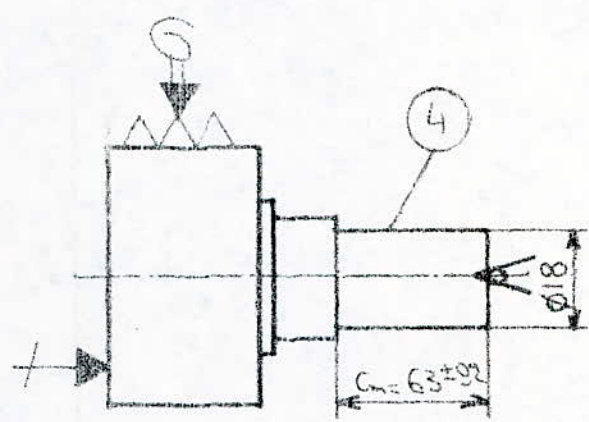
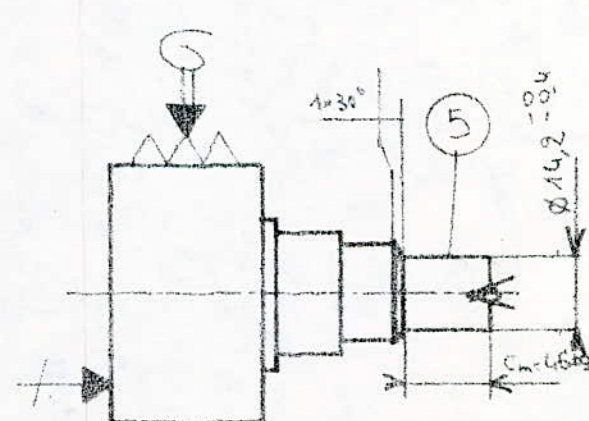


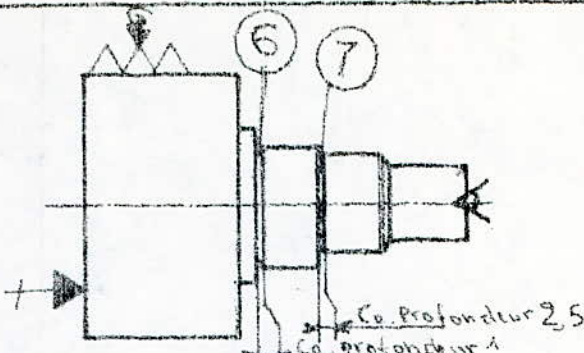
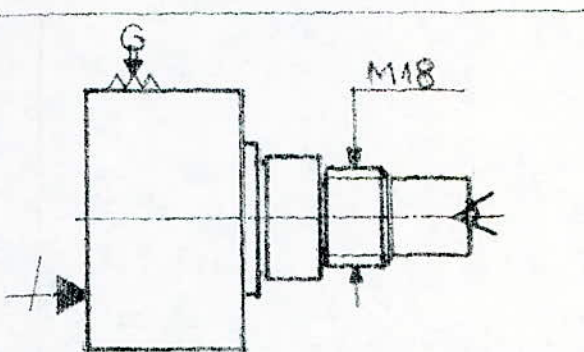
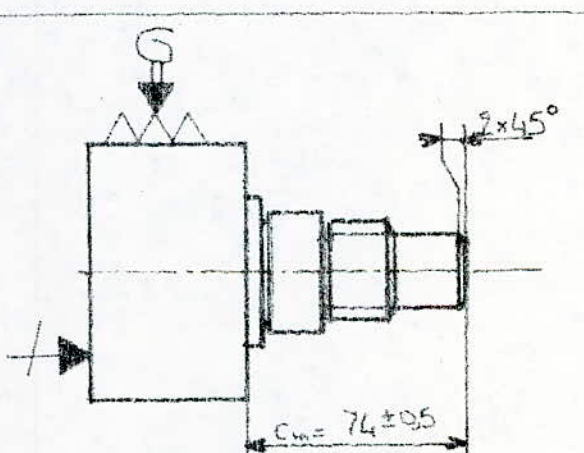
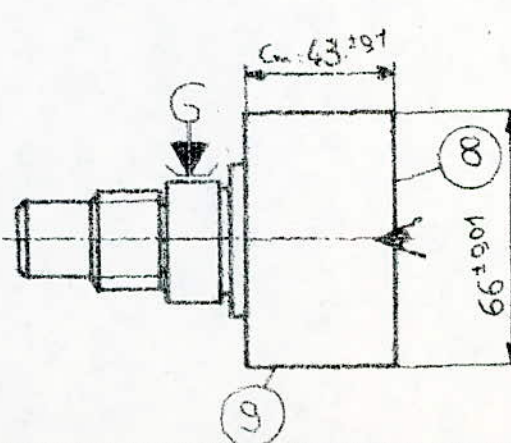
Echelle : ?

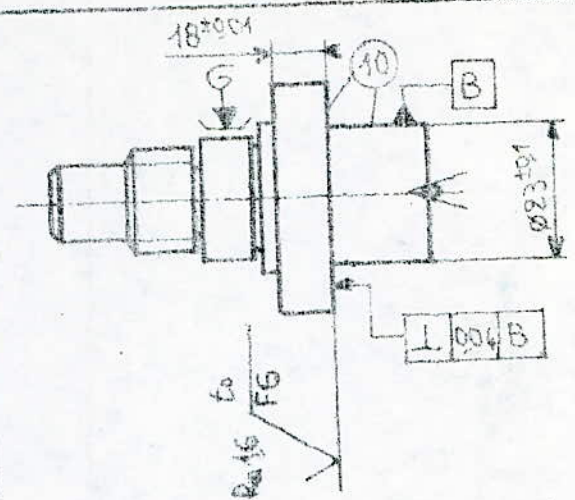
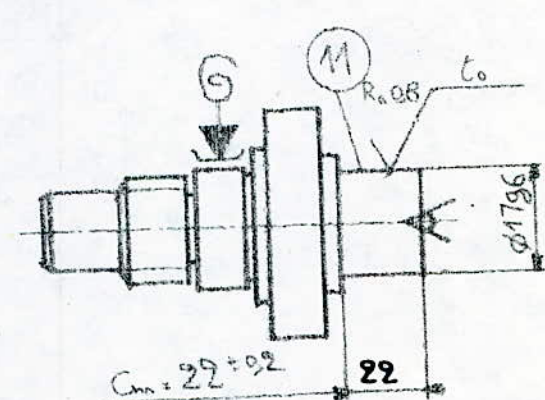
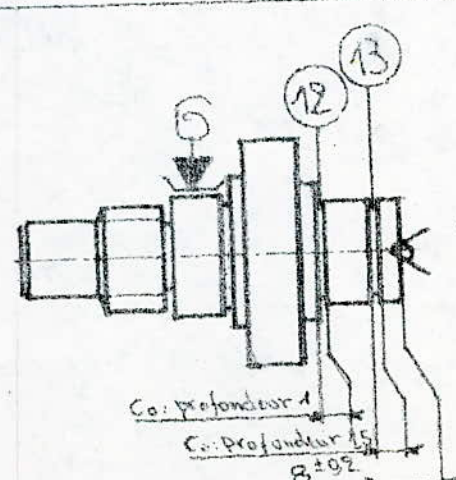
Les arbres pignons ont le même nombre de dents. Il sont identiques à la différence que l'un sera débouchant, l'autre sera enfermé. Nous donnerons une grille de fabrication des arbres pignons.

- Grille de fabrication des pignons

Projet d'étude de fabri-			Bureau : ENP	Centrale:
Ensemble: Rotule hydraulique		Bruit: Profil rond	N° de pièces: 2	Atelier :
Elément : Arbre pignon		Matière: ADX	Cadence: Pièce unique	ENP
P/s	* Op	Désign-	Passé de trou	Créquis
1		débit de métalure. profil rond Ø70x725	Scie	
2/1	1	dressage du 1). 1 passe	Tour	
		2 centrage		
	3	ébauche, 1/2, fini- tion, finition de (2)	Tour	

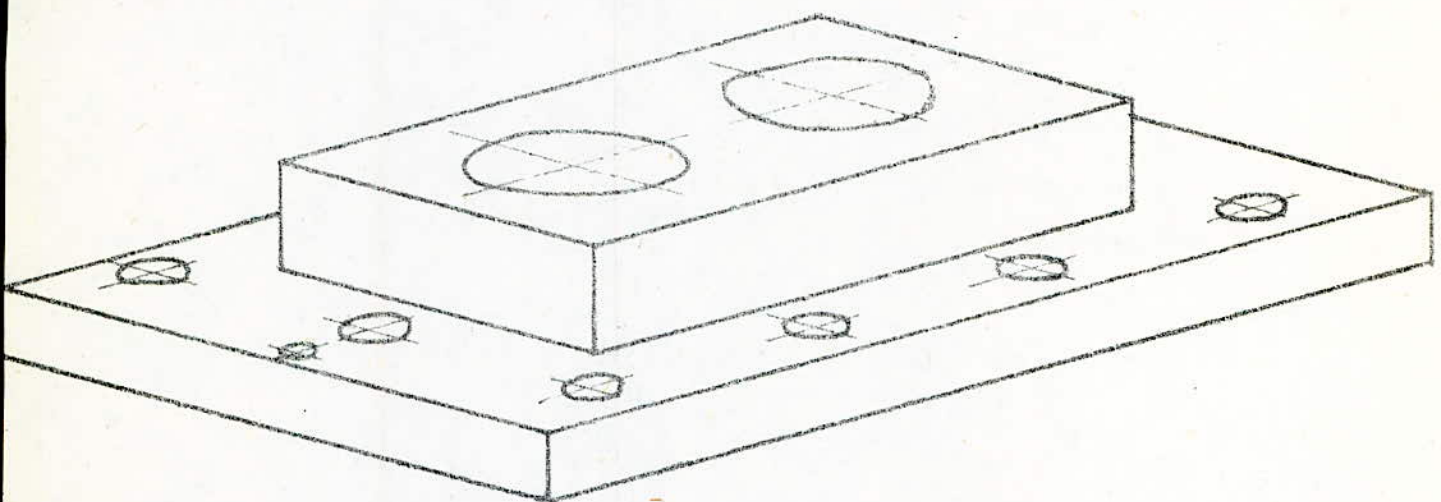
4	ébauche, demi-fin- ition, finition de (3)	Tour		outil couteau
5	demi-fin- ition, finition de (4)			outil couteau
6	demi-fin- ition, finition de (5) rotation du porte outil de 45°, mar- quage du chan- frauin 1x45°			outil couteau

	7	usinage des saignées (6) et (7)	Tour		outil à saigner
	8	filetage	Tour		outil à fileter extérieur
	9	dressage de (1) pour supprimer le trou de centrage réalisatiion du chariot 2x45°	Tour		outil à dresser
2/2	1	dressage de (8) 1 passe centrage	Tour		outil à dresser
	2				forêt à centrer
	3	ébauche 1/2 finition finition de (9)			outil à charioter

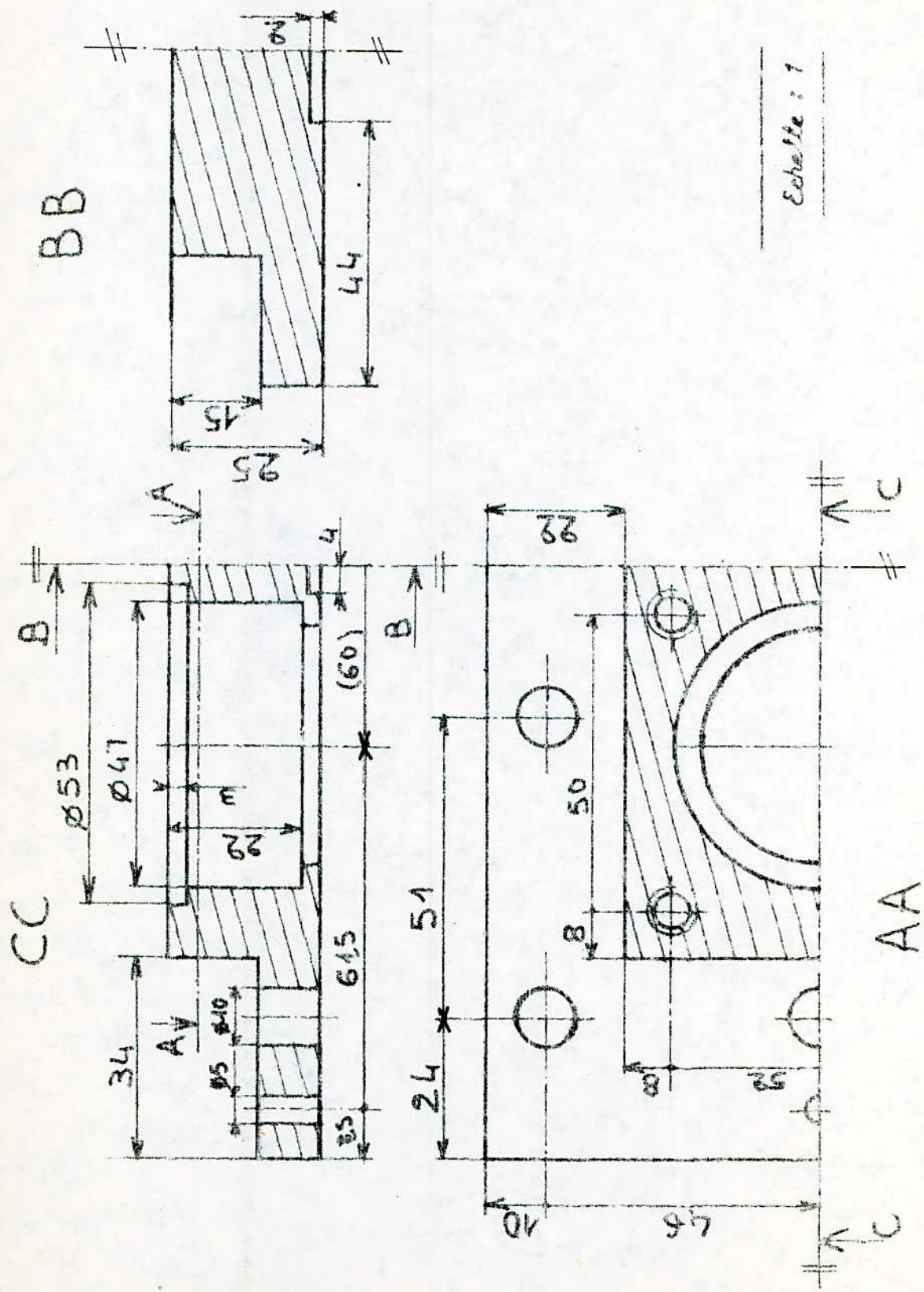
4	ébauche, 1/2 fini- tion, finition de (10)	Tour		outil couteau
5	1/2 fini- tion, finition de (11)	Tour		outil couteau
6	usinage des sai- gées (12) et (13)			outil à saigner

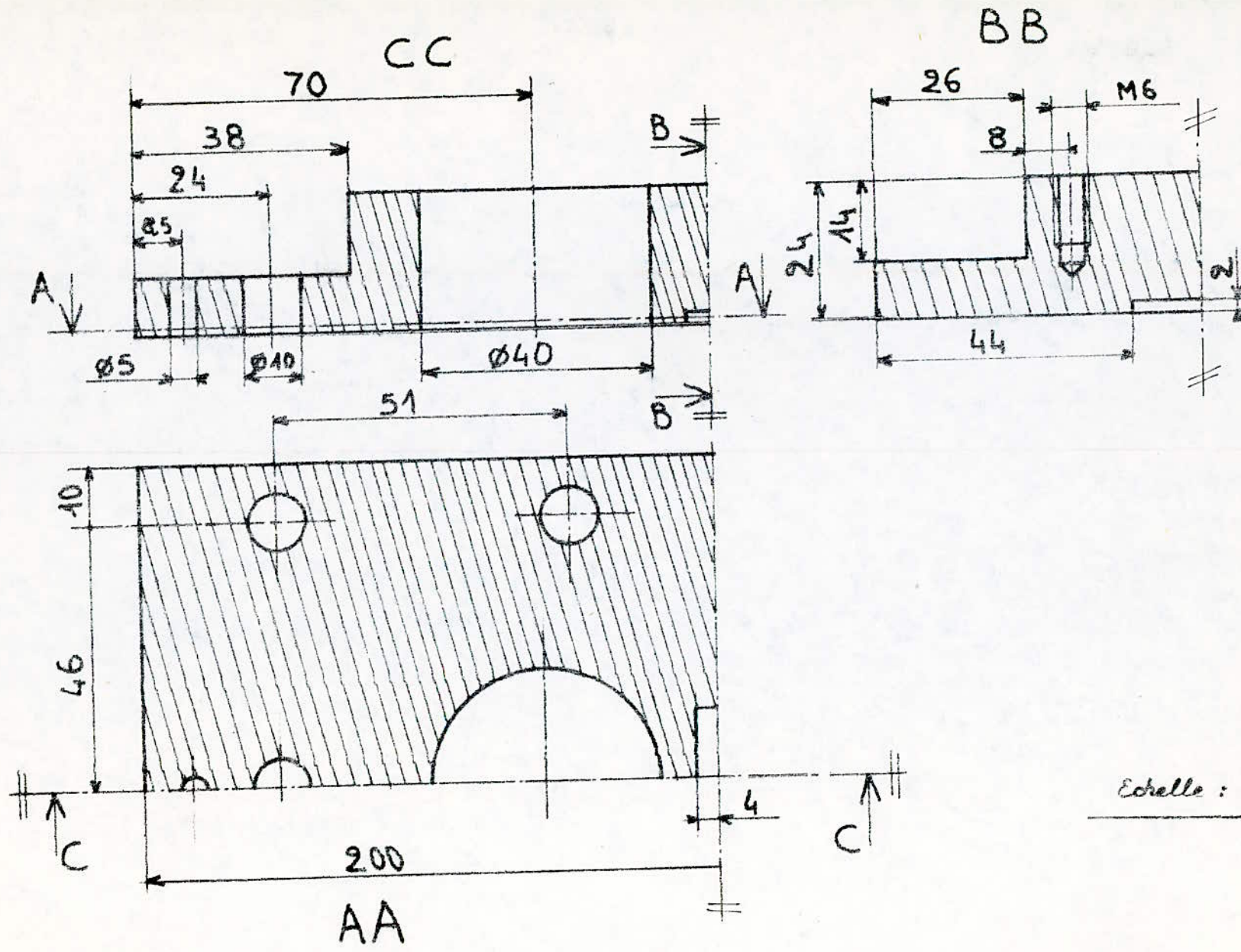
3/1	1	taillage de l'en- grangage $m = 3$ $Z = 20$	frai- seuse		fraise de module 3
4/1	1	dressage de (8), pour sup- primer le trou de centrage réali- sation du choc fraise $7 \times 45^\circ$			outil à dresser
4/2	1	tronçon- nage de (5), une pièce sur deux			outil à tronçon- ner
				<p>Les différents controles ont été faits au pieds à coulisse et au palmer</p> <p>* P/o : phase et sous-phase ex : 2/1 ; phase 2 , sous-phase 1</p> <p>* Op : opération</p>	

## 2.2 - Dessins de définitions des flasques ( K 1 , K 5 )



Les deux flasques présentent une symétrie suivant deux axes rectangulaires, nous dessineraons des demi-vues .

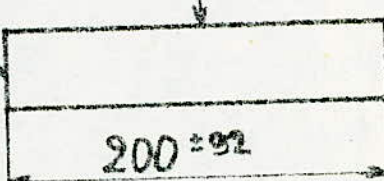


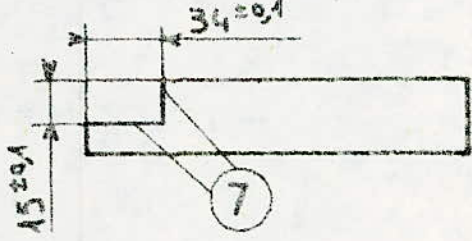
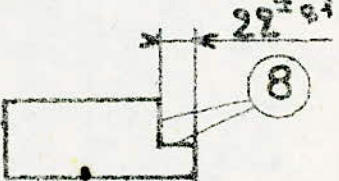


Pour la réalisation de ces flasques, nous utiliserons un fer plat de 30. le tronc est obtenu à l'oxycoupage, subit un passage à la meule afin de supprimer la crête, puis son étau-limeur pour l'obtention d'un parallélépipède de dimensions suivantes :  $210 \times 120 \times 30$

Nous donnerons une gamme de fabrication pour le flaque comportant le plus d'usinages c'est à dire le flaque K 5

#### → Gamme de fabrication du flaque gauche

Projet d'étude de fabrication			Bureau : E.N.P	Contrôle
Ensemble : Moteur hydraulique		Brut : Fer plat	N° de pièce 1	Ateliers : E.N.P
Elément : Flaque gauche		Matière : ADX		
P/s	* Op*	Désignation	Poste de travail	Coupe(s)
1		débit de matière fer plat $250 \times 150 \times 30$	soieuse	
2		meulage	meule	
3		obtention d'un parallélépipède de $210 \times 120 \times 30$	étau-limeur	
4/7	1	surface (1), deux passes	fraiseuse	1
	2	surface (2); une passe		2
	3	surface (3)		3
				fraise 2 tailles 63.40

4/2	1	surfage de (4) 2 passes	fraiseuse		fraise 2 tailles 63.40
4/3	1	surfage de (5), appui plan sur (8)	11		11
4/4	1	surfage de (6), appui plan sur (7)	11		11
	2	surfage de (7),	11		11
	3	surfage de (8)	11		11

4	surface de (9) fraiseuse		fraise 2 têtes 63.10
5	surface de (10)		11
6	perçage trou Ø 5		fond Ø 5
7	perçage trou Ø 40 en avant trou de Ø 10, Ø 20 Ø 25, Ø 30 Ø 35.		fond Ø 10, Ø 20 fraises Ø 25, Ø 30 Ø 35, Ø 40
8	alésage trou Ø 40 H7		tête à aléser
9	fouage Ø 53		tête à aléser

10	perçage trou de Ø 40 avant les trous de Ø 10 Ø 20 Ø 25 Ø 30 Ø 35	fraiseuse		forêt Ø 10, Ø 20 fraises Ø 25, Ø 30 Ø 35, Ø 40
11	alésage trou de Ø 40 H7	//		tête à aléser
12	ébranlage	//		tête à aléser
13	perçage trou de Ø 5	//		forêt de Ø 5
14	perçage des trous de Ø 10	//		forêt de Ø 10

	15	percage des trous Ø5, pour taraudage profondeur 15	trai-suse		trai de Ø5
4/5	7	réalisa- tion de la rainure, appui plan sur (6), pro- fondeur 2			trai à rainures Ø8
5	1	taraudage M6			jeu de taraux M6

\* P/s : phase et sous-phase, ex : 4/4 phase 4, sous-phase 4

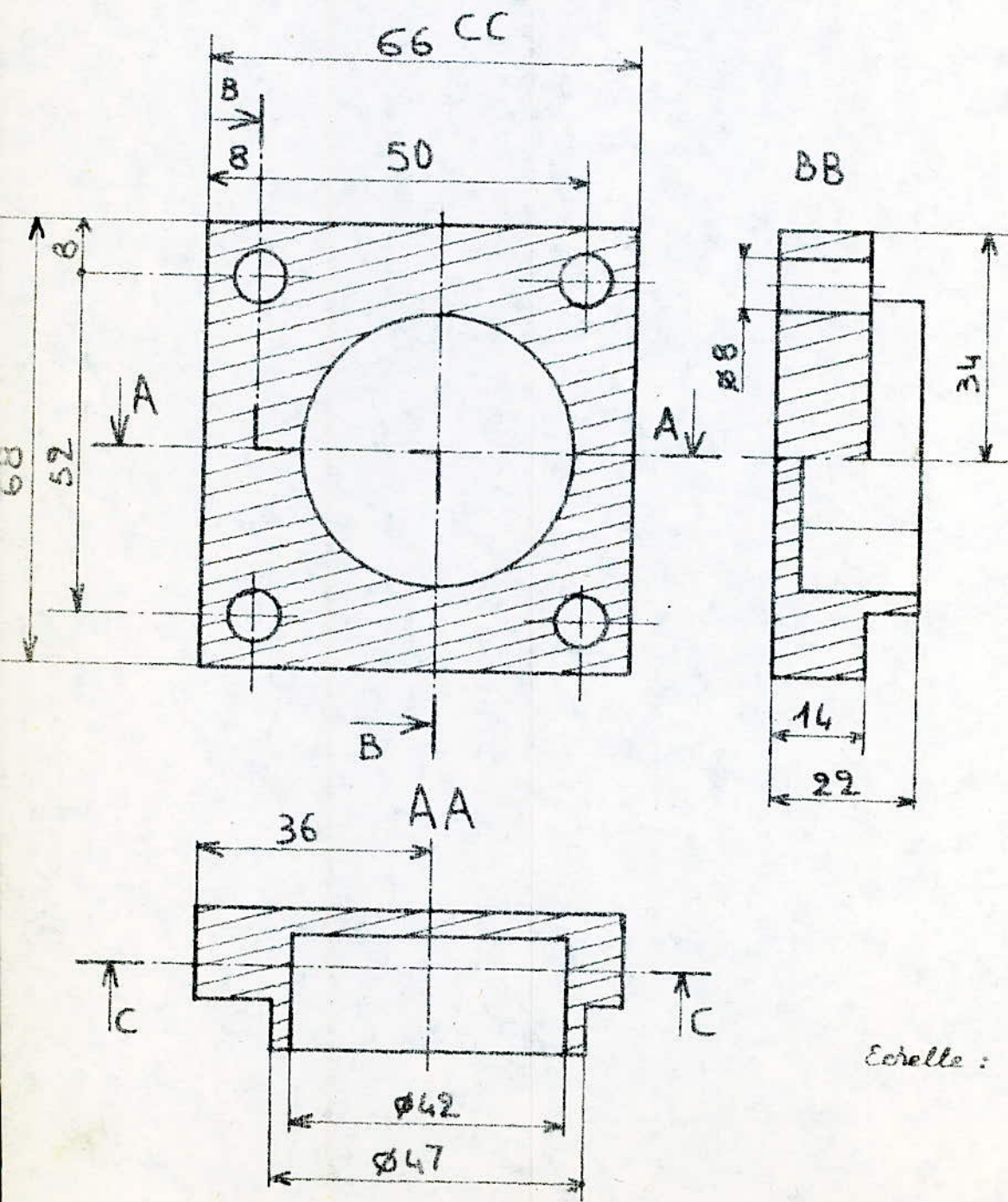
\* Op : opération

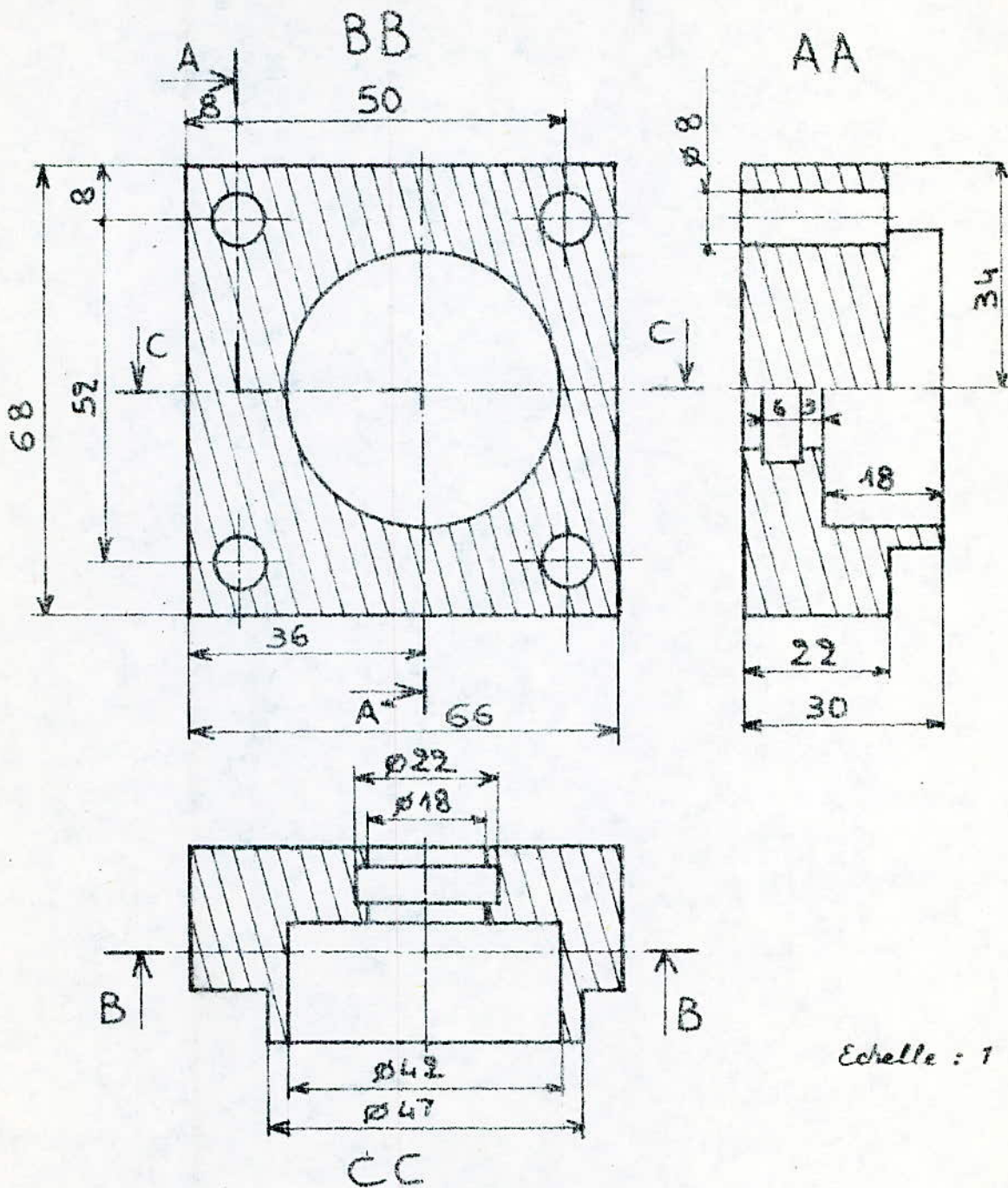
Devant toute la phase 4 l'ablocage de la pièce est réalisé sur élau.

- Une fois le premier épaulement réalisé immobiliser la table de façon à conserver la cote de 15 pour les quatre épaulements.
- Réalisation des sous-phases 4/4.8 et 4/4.11 : Après avoir calculé le nombre de trous que doit faire le vernier de la table pour une profondeur de 22 mm, nous avons réalisée une première passe et avons réglé la fin de course de l'outil avec le zéro du vernier.
- Le percage des trous de centrage et des alésages est fait tel que nous le voyons sur la gamme de fabrication pour avoir un bon alignement d'une part, et garder le jeu de la vis de la table dans un seul sens d'autre-part.

- Pour la réalisation du flasque droit, nous pouvons nous aider de la gamme de fabrication, en modifiant les différentes cotations, de plus sa réalisation suit celle du flasque gauche sans les opérations 8, 9, 11 et 12.

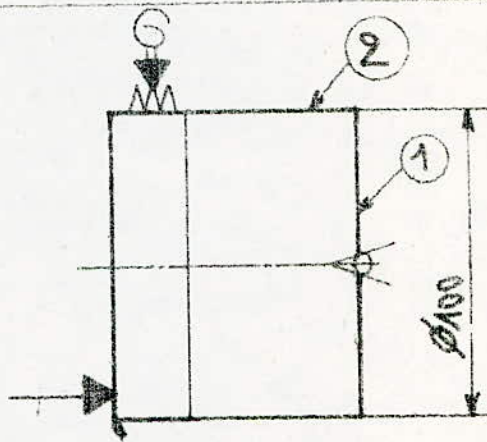
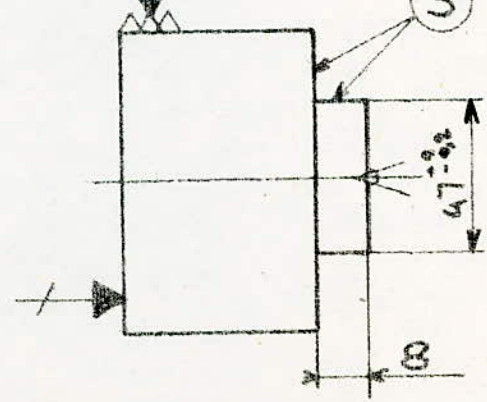
### 2.3 - Dessins de définitions des couvercles ( K 6 , K 7 )

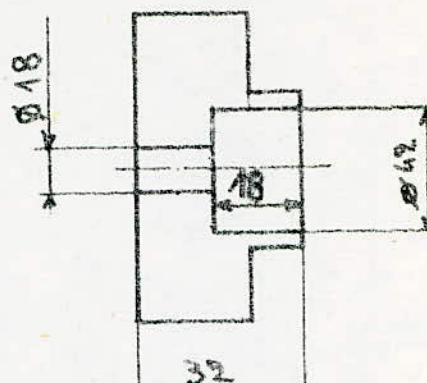
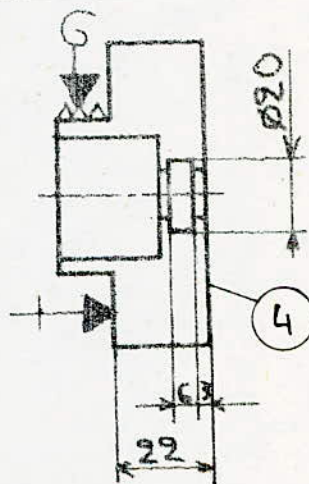
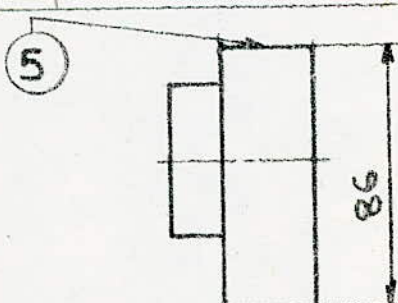
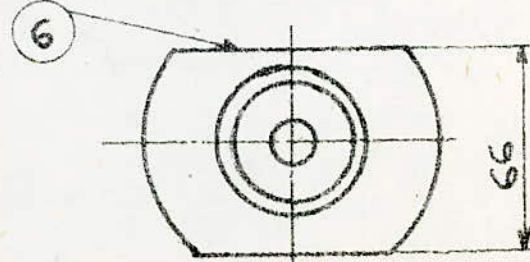


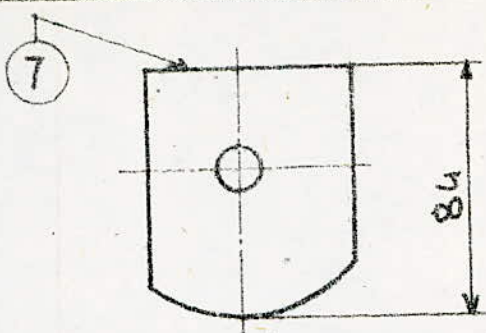
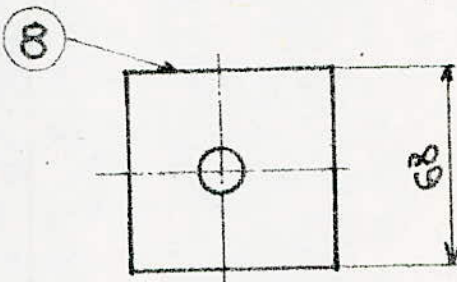
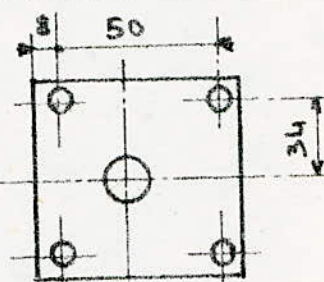


- Pour la réalisation de ces couvercles nous avons utilisé un profil rond de Ø100 , le magasin de l'école ne disposant pas de fer plat de 35mm d'épaisseur . Nous donnerons également une gamme de fabrication du couvercle présentant le plus d'intérêt à savoir le couvercle K 7

- Gamme de fabrication du commerce (K 7)

Projet d'étude de fabrication			Bureau : E.N.P	Contrôle
Ensemble : Moteur hydraulique		Brut : Fer rond	N° de pièce	Atelier : E.N.P
Elément : Commerce		Matériel : AD%	Cadence pièce unique	
P/s *	Op *	Désignation de l'œuvre	Poste de travail	Croquis
	1	détit de matière fer rond Ø100x60		
2/1	1	dressage de (1)	tour	
	2	centrage		
	3	chariotage de (2)		
	4	ébauche, demi-finition, finition de (3)		

	5	perçage trou de Ø 18	tour		forêt de Ø 18
	6	alésage			outil à alésier
	7	tronçon-			outil à tronçonner
2/2	1	dressage de (4)	tour		outil à dresser
	2	réalisa-			outil à gorge intérieur
		tion de la gorge			
3/1		surfaca-	fraî-		trise 2 tailles 63.40
		ge de (5)	seuse		
3/2		surfaca-			trise 2 tailles 63.40
		ge de (6),			
		appui plan sur (5)			

3/3	surfage de (7) fraiseuse		fraise 2 tailles 63.40
3/4	surfage de (8), appui plan sur (7)		fraise 2 tailles 63.40
3/5	perçage des trous de Ø 8		forêt de Ø 8

\* P/S : phase et sous-phase , ex : 2/1 phase 2 , sous-phase 1

\* Op. : opération

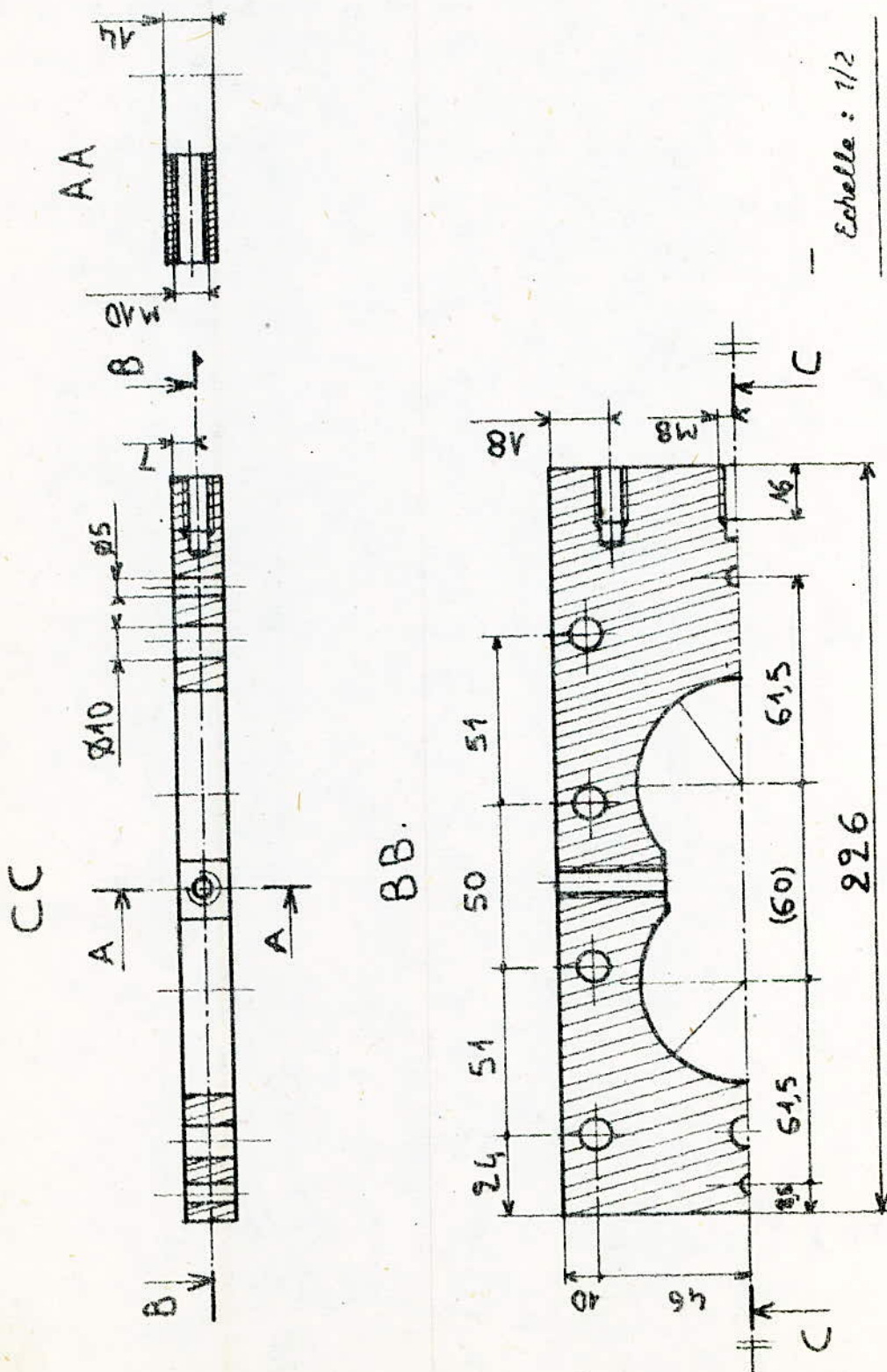
- La réalisation du deuxième couvercle se fait également à partir d'un profil rond de Ø100 .

Pour les formes extérieures, elles sont les mêmes, mis à part la hauteur , elle est de 22 pour le couvercle K6 et de 30 pour le couvercle K7 .

Pour les formes intérieures , l'alésage de Ø42 n'est pas débouchant

## 2.4 - Dessin de définition du corps (K 4)

Le corps présente une symétrie suivant un axe



Pour la réalisation du corps , nous utiliserons du fer plat de 20 . Comme pour les flasques le brut est obtenu à l'oxycoupage , subit un passage à la meule pour supprimer la croûte et sur étau-limeur pour l'obtention d ' un parallélépipède de dimension suivantes  $230 \times 120 \times 16$  . Nous donnerons également une gamme de fabrication de cet élément .

- Gamme de fabrication du corps ( K 4 )

Projet d'étude de fabrication			Bureau : E N P	Contrôle :
Ensemble : Meule hydraulique		Brut: Fer plat	N° de pièce: 1	Atelier : E N P
Elément : Corps		Matière: ADX	Pièce Cadence: unique	
P/s	Op*	Désignation	Poste de travail	Coupe(s)
1		débit de matière fer plat $260 \times 140 \times 20$		
2		meulage meule		
3		obtention étau- du paral- limeur lélépi- de $230 \times 120 \times 20$		
4/1	1	surface fraiseuse de (1) + passe		
4/2	1	surface de (2) appui pl sur (1)		
	2	surface de (3) et (4) fraiseage en bout		
				fraise 2 taille 63.40

4/3	surface de (5) 1 passe			
4/4	surface de (6) appui plan sur (5)			
4/5	<p>1 perçage (7), Ø5 fraiseuse</p> <p>2 perçage (8), Ø66 avant trous Ø10, Ø20 Ø25, Ø30 Ø35, Ø45 Ø50, Ø63</p> <p>3 perçage (9), Ø66 à l'opération que (8)</p> <p>4 perçage (10), Ø5</p> <p>5 perçage (11), 10 trous de Ø10</p> <p>6 surface de (7) et (8)</p>			<p>forêt Ø5</p> <p>forêts Ø10, Ø20 fraises 2 tailles Ø25, Ø30 Ø35, Ø45 Ø50, Ø63 tête à aérer</p>
4/6	<p>1 perçage (15), Ø8 pour l'aérouillage</p> <p>2 perçage (16), Ø8</p>			forêt Ø8
4/7	perçage (17), Ø6, pour l'aérouillage			forêt Ø6,4

5/1	1	taraudage M8			jeu de tarauds M8
	2	taraudage M10			jeu de tarauds M10

\* P/s : phase et sous phase , ex 4/5 ; phase 4 , sous-phase 5

\* Op : opération

- Comme pour les flasques , l'usinage des trous de Ø5 et des alésages Ø66 doit se faire successivement afin d'avoir un bon alignement et garder le jeu de la vis de la table dans un seul sens .

- Nous avons donné deux types de gamme . Les premières , celles des arbres pignons , flaque et couvercles , sont destinées aux grandes séries , celle du corps pour les petites séries ou pièce unique . Généralement , pour une pièce unique , nous établissons une gamme de fabrication , lorsque la pièce à usiner présente des travaux délicats ou compliqués .

Nous terminerons ce chapitre par quelques remarques et suggestions .

- Le taillage des engrenages ne s'est pas fait sans difficulté , le magasin de l'école ne disposant pas de fraise module de 3 pour 20 dens , nous avons eu recours à une aide extérieure .

- La matière pour la réalisation des flasques a été ramenée de l'extérieur également

- Les machines n'étaient disponible que les après-midis (fraiseuses) .

- L'outillage faisait défaut .

-Nous suggérons , si à l'avenir des sujets de réalisation seront encore donnés , de réservier une machine et un outillage uniquement pour l'étudiant et à ce dernier de faire un recensement de ses besoins avant de débuter ses travaux , afin de porter les corrections nécessaires si la matière , accessoires ou autres ne sont pas disponibles au magasin .

Afin que notre réalisation ait un sens, et comme convenu, nous nous sommes fixés pour but essentiel l'exploitation de notre moteur hydraulique comme T.P (Travaux Pratique).

Après montage du moteur hydraulique, ce dernier a subi un rodage au tour. Nous avons lié l'arbre sortant (K2) au mandrin du tour, et fait reposer le moteur hydraulique sur le bâti dans une position horizontale. Nous avons également profité de la présence des orifices d'aspiration et de refoulement pour assurer le graissage. Nous avons commencé le rodage avec une faible fréquence de rotation, puis avons augmenté progressivement cette dernière jusqu'à 1000 tr/min.

Nous appellerons le T.P que nous présenterons "Essai à vide d'un moteur hydraulique". Ce titre a été choisi car l'arbre sortant (K2), ne sera relié à aucun appareillage ou autre.

En général, pour une installation hydraulique, le paramètre variable est le débit, la pression étant maintenue constante. Nous étudierons la variation de la fréquence de rotation en fonction du débit à pression constante.

### 1 - Présentation du T.P

#### 1.1 - Description de l'installation

Les applications des transmissions hydrauliques de puissance se développent régulièrement dans différentes industries. On peut citer, entre autre, les industries de construction d'appareils de levage et de manutention (chargeurs, élévateurs, grues, convoyeurs), les industries de construction mécanique (presses, machines de déformation, machines outils), ....

L'hydraulique est utilisée dans ces applications, en raison des avantages suivants :

- de l'amplification des forces.
- d'une puissance spécifique élevée.
- des possibilités d'asservissements.
- de la variation continue de la vitesse.
- de la souplesse d'emploi avec les autres transmissions de puissance.
- de la sécurité d'emploi.

Le banc hydraulique H20 a été conçu pour offrir la possibilité d'effectuer des expériences et des essais sur divers appareillages étudiés dans le cours de transmission hydraulique de puissance.

Les pressions d'alimentation et de refoulement peuvent être réglées et mesurées, permettant ainsi l'étude de nombreuses applications. Les appareils de mesure sont montés sur le tableau de contrôle du banc et permettent d'effectuer, soit des études quantitatives des principaux paramètres de fonctionnement, soit des démonstrations didactiques des principes de fonctionnement des éléments hydrauliques.

Les montages expérimentaux se placent sur le plateau supérieur du banc, devant le tableau des appareils de mesure, afin de pouvoir procéder aux différents réglages, tout en observant le déroulement de l'expérience.

On distingue trois parties principales sur le banc d'essai H20

- 1- le réservoir d'huile, la pompe à engrenage et son moteur électrique d'entraînement.
- 2- le plan de travail du banc.
- 3- le tableau des appareils de mesure.

#### 1.2 - But de la manipulation

Nous étudierons la variation de la fréquence

de rotation en fonction du débit, à pression constante.

Le débit est continuellement réglable entre 0,5 et 16,4 l/min, la pression d'alimentation est continûment réglable sur la plage de 0,34 à 10,3 MP<sub>a</sub> (1 MP<sub>a</sub> = 10 bars).

Nous ferons varier la pression par bond de 10 bars, et le débit par bond de 1 l/min.

M. S. LIBRARY

la pression  $p =$

## Questions:

- Expliquer le principe de fonctionnement d'un moteur hydraulique à engrenage
  - Démontrer  $Q_{eff} = 2\pi k Z m^3 n \eta_v$
  - Si  $k = 6$  ( $k$ : coefficient de largeur) et  $m = 3 \text{ mm}$  (module). Calculer le nombre de dents  $Z$  ?
  - Calculer la puissance disponible, si le refoulement se fait à la pression atmosphérique.
  - $\eta_v = 0,85$ , pour quelques valeurs de  $Q_{eff}$ . Calculer  $n$ . Comparer cette valeur avec celle relevée.

Expliquer.

L'hydraulique est utilisée dans ces applications, en raison des avantages suivants :

- de l'amplification des forces.
- d'une puissance spécifique élevée.
- des possibilités d'asservissements.
- de la variation continue de la vitesse.
- de la souplesse d'emploi avec les autres transmissions de puissance.
- de la sécurité d'emploi.

Le banc hydraulique H20 a été conçu pour offrir la possibilité d'effectuer des expériences et des essais sur divers appareillages étudiés dans le cours de transmission hydraulique de puissance.

Les pressions d'alimentation et de refoulement peuvent être réglées et mesurées, permettant ainsi l'étude de nombreuses applications. Les appareils de mesure sont montés sur le tableau de contrôle du banc et permettent d'effectuer, soit des études quantitatives des principaux paramètres de fonctionnement, soit des démonstrations didactiques des principes de fonctionnement des éléments hydrauliques.

Les montages expérimentaux se placent sur le plateau supérieur du banc, devant le tableau des appareils de mesure, afin de pouvoir procéder aux différents réglages, tout en observant le déroulement de l'expérience.

On distingue trois parties principales sur le banc d'essai H20

- 1- le réservoir d'huile, la pompe à engrenage et son moteur électrique d'entraînement.
- 2- le plan de travail du banc.
- 3- le tableau des appareils de mesure.

#### 1.2 - But de la manipulation

Nous étudierons la variation de la fréquence

- Quelles remarques pouvez-vous porter à partir de l'observation du tableau de mesure.

### 1.3 - Mode opératoire

- mettre en marche le banc en agissant sur le commutateur. Position ON.
- Pour le réglage de la pression, agir sur le bouton molette se trouvant à gauche du plan de travail et lire la pression sur les manomètres montés sur le tableau des appareils de mesure.
- Le régulateur à débit variable est placé sur le côté gauche du tableau des appareils de mesure, agir sur la vis. Le réglage est précis et la lecture aisée.

### Remarques:

Ce T.P., tel qu'il est présenté, ne présente pas un grand intérêt, il est possible d'en améliorer le contenu, si nous avions disposé d'un frein aéronautique, pneumatique ou électrique. Nous aurions pu ainsi déterminer la puissance de notre moteur, calculer les différents rendements. Faute de temps et de moyens, c'est avec regret que nous nous sommes limités à ce travail.

## II conclusion

D'une conception et réalisation simple, ce type de construction est surtout utilisé en mode pompe. Leurs avantages, c'est qu'elles permettent d'utiliser des pressions importantes, des vitesses de rotation élevées et présentent un débit sensiblement constant. L'inconvénient majeur est la mauvaise étanchéité entre les flans des pignons et les flasques.

Pour notre part, nous déplorons le manque de documentation concernant ce type de moteur hydraulique, et le manque de temps. Néanmoins nous sommes satisfaits de notre contribution à l'enrichissement des moyens didactiques et pédagogiques de notre département.

